

บทที่ 2

ทฤษฎีที่เกี่ยวข้อง

เนื่องจากวิทยานิพนธ์นี้เป็นการวิจัยและพัฒนาเรื่อง การสังเคราะห์และออกแบบวงจร อิเล็กทรอนิกส์ที่ใช้ วงจรขยายความนำถ่ายโอนผลต่างกระแสที่สามารถควบคุมด้วยกระแส (Current controlled current differencing transconductance amplifier: CC-CDTA) ที่ทำงานในสภาพแวดล้อมตัว ซึ่งประกอบด้วย วงจรชmitt์ทริกเกอร์ วงจรกำเนิดสัญญาณสี่เหลี่ยม วงจรмоคุลเตต ความกว้างพัลส์ วงจร โนมโนสเตเบิลมัลติไวนิฟอร์ รวมไปถึงการสร้างชุดการสอน ดังนั้นจึงจำเป็นต้องศึกษา กลุ่มวงจรพื้นฐานที่ใช้ในการออกแบบ วงจร อิเล็กทรอนิกส์และทฤษฎีที่มีอยู่เดิม เสียก่อน ซึ่งมีหัวข้อดังต่อไปนี้

- 2.1 วงจรขยายความนำถ่ายโอนผลต่างกระแสที่สามารถควบคุมด้วยกระแส
- 2.2 วงจรชmitt์ทริกเกอร์
- 2.3 วงจรกำเนิดสัญญาณสี่เหลี่ยมเบื้องต้น
- 2.4 วงจรmoносเตเบิล มัลติไวนิฟอร์
- 2.5 วงจร โนมโนสเตเบิล มัลติไวนิฟอร์
- 2.6 ชุดการสอน
- 2.7 งานวิจัยที่เกี่ยวข้อง
- 2.8 สรุป

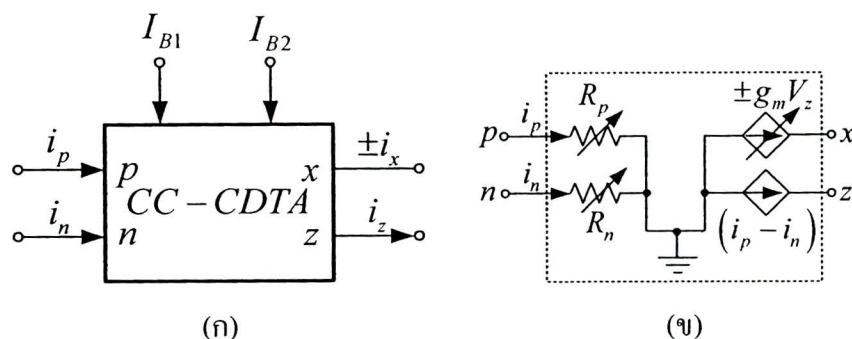
2.1 วงจรขยายความนำถ่ายโอนผลต่างกระแสที่สามารถควบคุมด้วยกระแส

วงจรขยายความนำถ่ายโอนผลต่างกระแสที่สามารถควบคุมด้วยกระแส (Current controlled current differencing transconductance amplifier: CC-CDTA) เป็นอุปกรณ์อิเล็กทรอนิกส์ใหม่ กระแสที่มี 6 ขั้ว โดย CC-CDTA ได้พัฒนามาจาก CDTA แต่ CC-CDTA จะมีคุณสมบัติพิเศษกว่า CDTA ที่สามารถควบคุมความต้านทานแห่งที่ขั้วขาเข้าทั้งสองได้ด้วยกระแสในแอสจากภายนอก

ซึ่งจะได้อธิบายรายละเอียดในลำดับต่อไป ในจำนวน 6 ข้อของ CC-CDTA สามารถแบ่งออกได้เป็น สามกลุ่มคือ ขั้วกระแสขาเข้า 2 ข้อ ขั้วกระแสขาออก 2 ข้อ และขั้วกระแสควบคุม 2 ข้อ โดย สัญลักษณ์และวงจรสมมูลของ CC-CDTA แสดงได้ดังภาพที่ 2-1(ก) และ (ข) ตามลำดับ (วินัย, 2552)

จากสัญลักษณ์ในภาพที่ 2-1(ก) ขั้วกระแสขาเข้าได้แก่ ข้อ p และ ข้อ n ส่วนขั้วกระแสขาออก ได้แก่ ข้อ z และ ข้อ x ขั้วกระแสควบคุม ได้แก่ ข้อ I_{B1} และ I_{B2} โดยกระแสใบออสภายนอก I_{B1} จะใช้ควบคุมความต้านทานแดงที่ข้อ p (R_p) และข้อ n (R_n) ซึ่งสามารถดูได้ในวงจรสมมูลใน ภาพที่ 2-1(ข) โดย R_p และ R_n จะมีค่าเท่ากัน ส่วนกระแสที่ข้อ z จะเป็นผลต่างของกระแสที่ให้ เข้าที่ข้อ p และ ข้อ n และกระแสที่ข้อ x จะเป็นการส่งผ่านความนำถ่ายโอนมาจากแรงดันที่ข้อ z ดังนั้นที่ข้อ z จะมีแรงดันได้จะต้องนำ荷ลดจากภายนอกมาต่อ โดยค่าความนำถ่ายโอนสามารถ ควบคุมได้ที่กระแสใบออสภายนอก I_{B2} จากคุณสมบัติที่ได้กล่าวมาข้างต้นสามารถแสดงด้วย สมการในเชิงเมตริกซ์ได้ดังนี้

$$\begin{bmatrix} V_p \\ V_n \\ I_z \\ I_x \end{bmatrix} = \begin{bmatrix} R_p & 0 & 0 & 0 \\ 0 & R_n & 0 & 0 \\ 1 & -1 & 0 & 0 \\ 0 & 0 & 0 & \pm g_m \end{bmatrix} \begin{bmatrix} I_p \\ I_n \\ (i_p - i_n) \\ V_z \end{bmatrix} \quad (2-1)$$



ภาพที่ 2-1 CC-CDTA (ก) สัญลักษณ์ (ข) วงจรสมมูล

โดยที่ความต้านทานที่ข้อ p และ ข้อ n มีค่าเท่ากันซึ่งสามารถแสดงได้เป็น

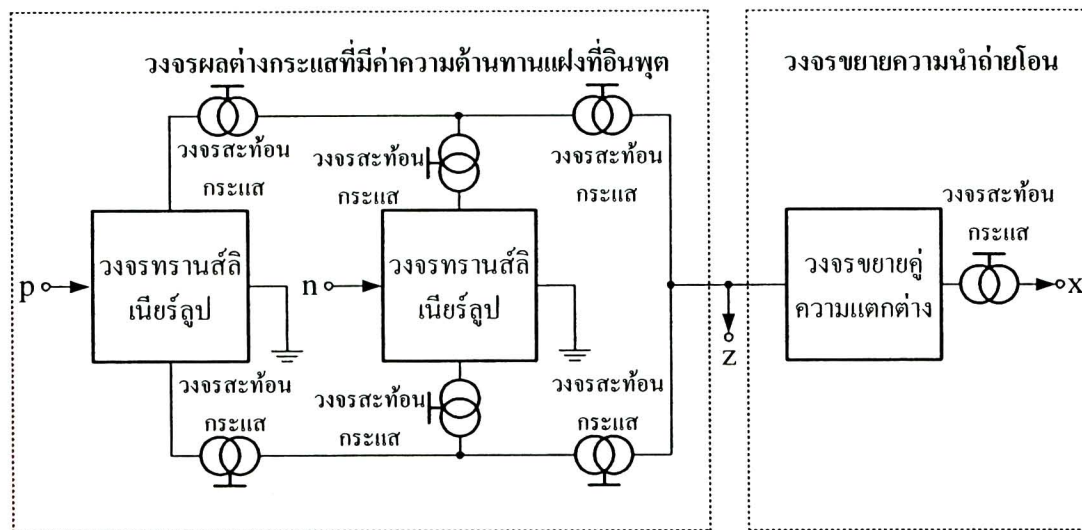
$$R_p = R_n = \frac{V_T}{2I_{B1}} \quad (2-2)$$

เมื่อ V_T คือ ศักย์ด้วยความร้อน (Thermal voltage)

ส่วนค่าความนำถ่ายโอนมีค่าเท่ากับ

$$g_m = \frac{I_{B2}}{2V_T} \quad (2-3)$$

จากสมการที่ (2-2) และ (2-3) พบว่าทั้งค่าความด้านทานแฟรงและค่าความนำถ่ายโอนสามารถควบคุมด้วยกระแสไบแอสหรือที่เรียกว่าการควบคุมเชิงอิเล็กทรอนิกส์ (Electronically controllable)



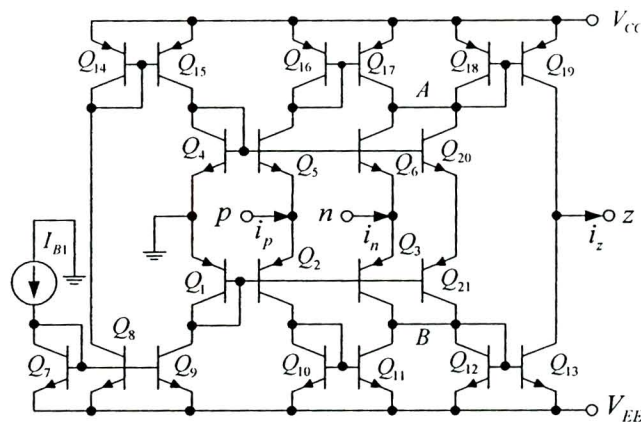
ภาพที่ 2-2 โครงสร้างพื้นฐานของ CC-CDTA

ส่วนประกอบของโครงสร้างภายใน CC-CDTA สามารถแสดงได้ดังภาพที่ 2-2 โดยจะประกอบด้วยวงจรสองส่วน ได้แก่ วงจรผลต่างกระแสที่มีค่าความด้านทานแฟรงที่ขาเข้าและวงจรขยายความนำถ่ายโอน ที่ข้าว p และข้าว n ของวงจรผลต่างกระแสจะใช้วงจรขยายคลาส AB

ทรานส์ลีนีเยอร์ลูปที่ได้รับกระแสไบแอดส์เท่ากัน ซึ่งจะทำให้เกิดความต้านทานแฟรงที่ขึ้นขาเข้าหั้งสอง มีค่าเท่ากัน นอกจากนี้แล้วในวงจรผลต่างกระแสจะประกอบไปด้วยกลุ่มวงจรย่อยได้แก่วงจร สะท้อนกระแสที่ทำหน้าที่สะท้อนกระแสจากขาเข้าไปสู่ขาออก ในส่วนของวงจรขยายความนำถ่าย โฉนจประกอบไปด้วยวงจรขยายคู่ความแตกต่างเป็นวงจรหลัก ในการออกแบบวงจรจะแยกเป็น ส่วนส่วน ดังนี้

2.2.1 วงจรผลต่างกระแสที่มีค่าความต้านทานแฟรงที่ขาเข้า

โครงสร้างวงจรผลต่างกระแสที่มีค่าความต้านทานแฟรงที่ขาเข้าแสดงในภาพที่ 2-3 โดยมี วงจรขยายคลาส AB แบบทรานส์ลีนีเยอร์ลูปเป็นส่วนประกอบด้านขาเข้าของวงจรผลต่างกระแสที่มี ความต้านทานแฟรงที่ขาเข้า ต่อร่วมกับวงจรสะท้อนกระแสแบบบวกและลบ ในทางอุคณคติ วงจร ผลต่างกระแสจะให้กระแสขาออก $i_z = i_p - i_n$



ภาพที่ 2-3 โครงสร้างของวงจรผลต่างกระแสที่มีค่าความต้านทานแฟรงที่ขาเข้า

จากวงจรในภาพที่ 2-3 สามารถอธิบายการทำงานของวงจรผลต่างกระแสได้ดังนี้ ทรานซิสเตอร์ Q_7-Q_9 เป็นวงจรสะท้อนกระแสแบบบวก ส่วน $Q_{14}-Q_{15}$ เป็นวงจรสะท้อนกระแส แบบลบ ทำหน้าที่สะท้อนกระแส I_{B1} ไปเป็นกระแสไบแอดส์ให้กับวงจรทรานส์ลีนีเยอร์ลูป ที่ประกอบไปด้วยทรานซิสเตอร์ Q_1-Q_6 ทำให้ที่ข้อ p และ n มีค่าความต้านทานแฟรงเกิดขึ้นตาม สมการที่ (2-2) ส่วนกระแส i_z ซึ่งเกิดจากกระแส $i_p - i_n$ นั้นสามารถพิจารณาได้ดังนี้

เมื่อกระแสออกเดียวกันของทรานซิสเตอร์ทุกตัวมีค่าประมาณเท่ากับกระแสอิมิเตอร์ ($I_C \approx I_E$) จากภาพที่ 2-3 จะได้



$$I_{C5} = I_{C2} - i_p \quad (2-4)$$

และ

$$I_{C2} = I_{C5} + i_p \quad (2-5)$$

จากความสัมพันธ์ของกระแสคอลเล็คเตอร์ในวงจรทรานส์ลีนีย์ลูปจะได้ $I_{B1}^2 = I_{C2}I_{C5}$ ซึ่งจัดสมการใหม่จะได้

$$I_{C5} = \frac{I_{B1}^2}{I_{C2}} \quad (2-6)$$

แทนสมการที่ (2-6) ลงในสมการที่ (2-4) จะได้

$$I_{C2}^2 - i_p I_{C2} - I_{B1}^2 = 0 \quad (2-7)$$

ทำการแก้สมการที่ (2-7) จะได้

$$I_{C2} = \frac{i_p \pm \sqrt{i_p^2 + 4I_{B1}^2}}{2} \quad (2-8)$$

จากสมการที่ (2-8) หาก $i_p \ll 4I_{B1}$ จะได้

$$I_{C2} = \pm I_{B1} + \frac{i_p}{2} \quad (2-9)$$

แทนสมการที่ (2-9) ลงในสมการที่ (2-4) จะได้

สำนักงานคณะกรรมการวิจัยแห่งชาติ	
ห้องสมุดงานวิจัย	
ผู้ที่.....	๘ ๗.๘. ๒๕๕๔
ลงทะเบียน.....	242212
ลงทะเบียน.....	

$$I_{C5} = \pm I_{B1} - \frac{i_p}{2} \quad (2-10)$$

ใช้หลักการเดียวกันเพื่อพิจารณาความสัมพันธ์ของกระแส kol เล็กเตอร์ในวงจรทran ส์ลิเนียร์ ลูปที่ป้อนกระแส i_n เข้ามาจะได้

$$I_{C3} = I_{B1} + \frac{i_n}{2} \quad (2-11)$$

และ

$$I_{C6} = I_{B1} - \frac{i_n}{2} \quad (2-12)$$

ส่วนวงจรทran ส์ลิเนียร์ลูปที่ประกอบไปด้วย Q_1, Q_4, Q_{20} และ Q_{21} นี้ไม่มีกระแสขาเข้าป้อนเข้าจะได้

$$I_{C20} = I_{C21} = I_{B1} \quad (2-13)$$

จากวงจรจะพบว่ากระแส I_{C5} จะเท่ากับกระแส I_{C16} และเนื่องจาก Q_{16} และ Q_{17} เป็นวงจรสะท้อนกระแส ดังนั้น I_{C16} จะถูกสะท้อนไปยังกระแส I_{C17} ซึ่งจើเป็นสมการได้ว่า

$$I_{C17} = I_{C16} = I_{C5} = I_{B1} - \frac{i_p}{2} \quad (2-14)$$

ส่วนกระแส I_{C2} จะเท่ากับกระแส I_{C10} และเนื่องจาก Q_{10} และ Q_{11} เป็นวงจรสะท้อนกระแส ดังนั้น I_{C10} จะถูกสะท้อนไปยังกระแส I_{C11} ซึ่งจើเป็นสมการได้ว่า

$$I_{C11} = I_{C10} = I_{C2} = I_{B1} + \frac{i_p}{2} \quad (2-15)$$

พิจารณาที่โหนด A จะได้

$$I_{C18} = I_{C6} + I_{C20} - I_{C17} \quad (2-16)$$

แทนสมการที่ (2-12) (2-13) และ (2-14) ลงในสมการที่ (2-16) จะได้

$$I_{C18} = I_{B1} - \frac{i_n}{2} + \frac{i_p}{2} \quad (2-17)$$

พิจารณาที่โหนด B จะได้

$$I_{C12} = I_{C3} + I_{C21} - I_{C11} \quad (2-18)$$

แทนสมการที่ (2-11) (2-13) และ (2-15) ลงในสมการที่ (2-18) จะได้

$$I_{C12} = I_{B1} + \frac{i_n}{2} - \frac{i_p}{2} \quad (2-19)$$

เนื่องจาก Q_{18} และ Q_{19} เป็นวงจรสะท้อนกระแส ดังนั้น I_{C18} จะถูกสะท้อนไปยังกระแส I_{C19} ซึ่ง
เขียนเป็นสมการได้ว่า

$$I_{C19} = I_{C18} = I_{B1} - \frac{i_n}{2} + \frac{i_p}{2} \quad (2-20)$$

เช่นเดียวกันกับ Q_{12} และ Q_{13} ก็เป็นวงจรสะท้อนกระแส ดังนั้น I_{C12} จะถูกสะท้อนไปยังกระแส
 I_{C13} ซึ่งเขียนเป็นสมการได้ว่า

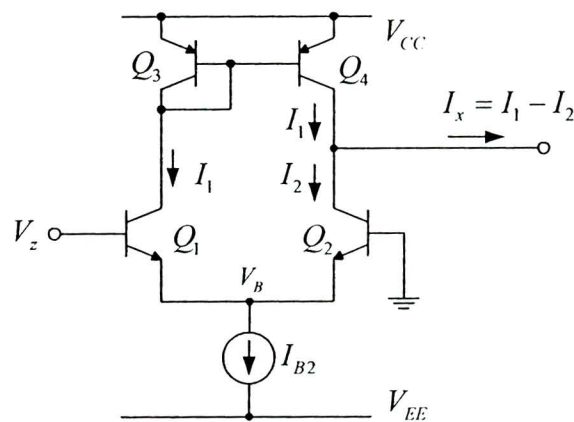
$$I_{C13} = I_{C12} = I_{B1} + \frac{i_n}{2} - \frac{i_p}{2} \quad (2-21)$$

จากวงจรสามารถเขียนสมการกระแสที่ขั้ว z ได้ดังนี้

$$i_z = I_{C19} - I_{C13} \quad (2-22)$$

แทนสมการที่ (3-20) และ (3-21) ลงในสมการที่ (3-22) จะได้

$$i_z = i_p - i_n \quad (2-23)$$



ภาพที่ 2-4 วงจรขยายความนำถ่ายโอนอย่างง่าย

2.2.2 วงจรขยายความนำถ่ายโอน

ในส่วนของวงจรขยายความนำถ่ายโอนนี้ ได้ออกแบบวงจรโดยใช้วงจรขยายคุณภาพแตกต่าง (Differential pair amplifier) แบบง่าย แสดงดังภาพที่ 2-4

วงจรขยายความนำถ่ายโอน ชนิดใช้ทรานซิสเตอร์อย่างง่ายที่สุด คือการใช้วงจรขยายความแตกต่าง (Differential amplifier) ต่อร่วมกับภาระแอคทีฟ (Active load) ซึ่งจะประกอบไปด้วย ทรานซิสเตอร์ 4 ตัวและแหล่งจ่ายกระแสที่ 1 ตัว ดังภาพที่ 2-12 (มนตรี, 2547)

จากวงจรในภาพที่ 2-4 จะมีไบโพลาร์ทรานซิสเตอร์ Q_1 และ Q_2 เป็นวงจรขยายความแตกต่าง แบบดิฟเฟอเรนเชียลซึ่งทำหน้าที่แปลงผันแปรดันเป็นกระแส ส่วนไบโพลาร์ทรานซิสเตอร์ Q_3 และ Q_4 เป็นวงจรสะท้อนกระแสซึ่งมีค่าอัตราการสะท้อนกระแสเท่ากันหนึ่ง โดยมีกระแส I_B

เป็นกระแสในแอลไหกับวงจร เมื่อป้อนสัญญาณแรงดันเข้ามาที่ V_m จะทำให้เกิดกระแส I_1 และ I_2 ขึ้นที่ Q_1 และ Q_2 ตามลำดับ แล้วกระแส I_1 จะถูกสะท้อนกระแสเนื่องจากวงจรสะท้อนกระแสแบบลับของทรานซิสเตอร์ Q_3 และ Q_4 ไปหกบล้ออกจากกระแส I_2 ที่เกิดขึ้นที่ทรานซิสเตอร์ Q_2 แล้วได้กระแสออกเป็นกระแส I_x ซึ่งมีค่าเท่ากับ $I_1 - I_2$ ต่อไป

ความสัมพันธ์ระหว่างค่ากระแส I_o กับค่าแรงดันที่จุดเข้า V_z ของวงจรขยายความแตกต่างในภาพที่ 2-4 สามารถหาได้ดังนี้

เขียนสมการกระแส I_1 และ I_2 ได้ว่า

$$I_1 = I_s e^{(V_z - V_B)/V_T} \quad (2-24)$$

$$\text{และ} \quad I_2 = I_s e^{(0 - V_B)/V_T} \quad (2-25)$$

พิจารณาที่ nond V_B จะได้

$$I_B = I_1 + I_2 \quad (2-26)$$

แทนสมการที่ (2-24) และ (2-25) ลงในสมการที่ (2-26) จะได้

$$I_B = I_s e^{-V_B/V_T} \left(e^{V_z/V_T} + 1 \right) \quad (2-27)$$

จากสมการที่ (2-27) ขัดสมการได้ใหม่ดังนี้

$$I_s e^{-V_B/V_T} = \frac{I_B}{e^{V_z/V_T} + 1} \quad (2-28)$$

พิจารณาที่ nond ขาออกจะได้

$$I_x = I_1 - I_2 \quad (2-29)$$

แทนสมการที่ (2-24) และ (2-25) ลงในสมการที่ (2-29) จะได้

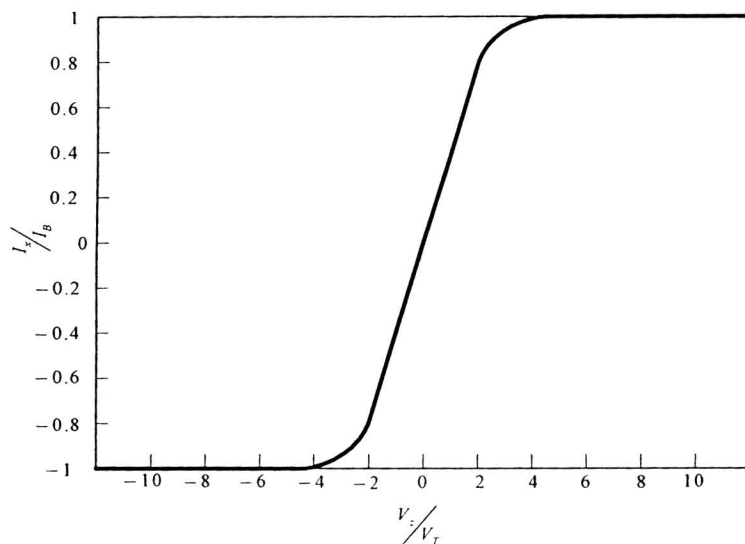
$$I_x = I_s e^{-V_B/V_T} \left(e^{V_z/V_T} - 1 \right) \quad (2-30)$$

แทนสมการที่ (2-28) ลงในสมการที่ (2-30) จะได้

$$I_x = I_B \left(\frac{e^{V_z/V_T} - 1}{e^{V_z/V_T} + 1} \right) \quad (2-31)$$

เมื่อ $V_{in} = V_z$ และ จาก $\tanh = \frac{e^{2x} - 1}{e^{2x} + 1}$ สมการที่ (2-31) เขียนใหม่ได้ดังสมการที่ (2-32)

$$I_x = I_B \tanh \left(\frac{V_z}{2V_T} \right) \quad (2-32)$$



ภาพที่ 2-5 กราฟความสัมพันธ์ระหว่างกระแส x ที่เป็นฟังก์ชันของแรงดันขา z

จากสมการที่ (2-32) จะสามารถเขียนกราฟความสัมพันธ์ระหว่างกระแสขาออก I_x กับแรงดันขาเข้า V_z ได้ดังในภาพที่ 2-5 จากราฟจะพบว่าค่าความนำถ่ายโอนจะมีความสัมพันธ์อยู่ในลักษณะของฟังก์ชันไฮเปอร์โบลิกแทนแทนที่โดยในช่วงเชิงเส้นจะอยู่ในช่วงแคบๆ แล้วเข้าสู่สภาวะอิ่มตัว เมื่อความแตกต่างของแรงดันขาเข้านี้ค่อนข้างกว่าประมาณ $2V_T$

จากสมการที่ (2-32) สามารถระบุรายอนุกรมในเทอมของ $\tanh X$ ได้เป็น

$$\tanh X = X - \frac{1}{3}X^3 + \frac{2}{15}X^5 - \dots \quad (2-33)$$

โดยการแทนค่าสมการที่ (2-33) ในสมการที่ (2-32) จะได้

$$I_o = I_B \left(\frac{V_z}{2V_T} \right) - \frac{1}{3} I_B \left(\frac{V_z}{2V_T} \right)^3 + \frac{2}{15} I_B \left(\frac{V_z}{2V_T} \right)^5 - \dots \quad (2-34)$$

จากสมการที่ (2-34) ถ้า $V_z \ll 2V_T$ ผลคือตั้งแต่เทอมที่ 2 เป็นต้นไปจะมีค่าน้อยมากๆ ดังนั้นจะได้ว่า $\tanh X \approx X$ จากสมการที่ (2-34) สามารถเขียนใหม่ได้เป็น

$$I_o = \frac{I_B}{2V_T} V_z \quad (2-35)$$

หรือ

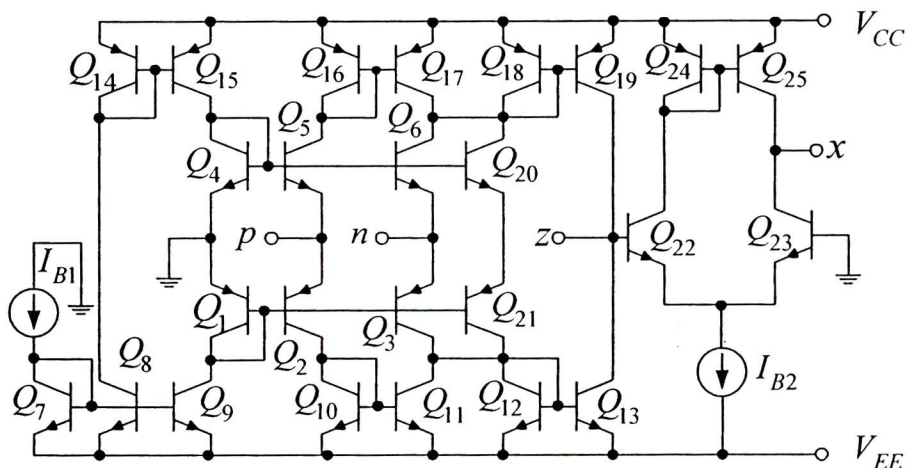
$$I_o = g_m V_z \quad (2-36)$$

เมื่อ

$$g_m = \frac{I_B}{2V_T} \quad (2-37)$$

พบว่าค่า g_m ของวงจรที่เกิดขึ้นสามารถที่จะปรับเปลี่ยนได้จากค่าของกระแส I_B ซึ่งทำให้วงจรดังกล่าวสามารถที่จะควบคุมค่า g_m ได้ด้วยวิธีทางอิเล็กทรอนิกส์ แต่อย่างไรก็ตาม เห็นได้อย่างชัดเจนว่า ค่า g_m นี้จะเปลี่ยนไปตามค่าศักย์ความร้อน

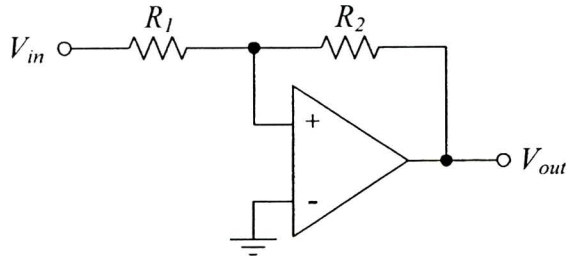
ภาพที่ 2-6 แสดงวงจรสมบูรณ์ของ CCCDTA จากวงจรส่วนบนไปด้านขวา 2 ส่วนคือ วงจรผลต่างกระแส (Q_1-Q_{21}) ที่มีวงจรทรานสิลิเนียร์ลูปเป็นวงจรหลักเพื่อสร้างความด้านท่านแดงที่ขึ้นขาเข้า p และ n โดยมี I_{B1} เป็นกระแสใบแอลอสให้กับวงจรเพื่อใช้ควบคุมความด้านท่านแดงที่ขึ้นขาเข้าทั้งสอง ตามสมการที่ (-2) และวงจรขยายความนำถ่ายโอน ($Q_{22}-Q_{25}$) ที่มีกระแสใบแอลอส I_{B2} เป็นกระแสใบแอลอสเพื่อใช้ในการปรับค่าการส่งผ่านความนำไปยังข้อ x



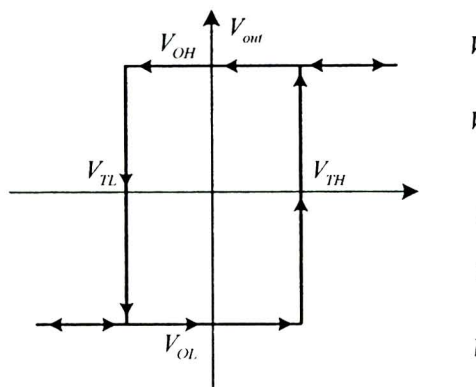
ภาพที่ 2-6 วงจรสมบูรณ์ของ CC-CDTA

2.2 วงจรชmitt-trigger

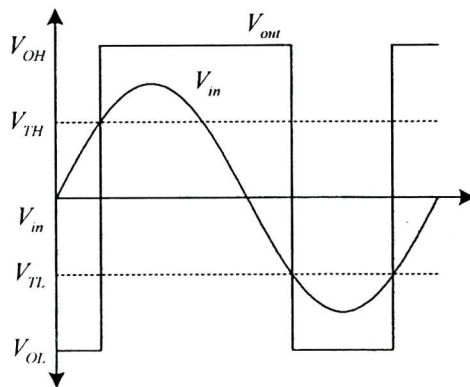
วงจรชmitt-trigger เป็นวงจรเปรียบเทียบแรงดันชนิดหนึ่งอาศัยหลักการป้อนกลับแบบบวกโดยอาศัยนำสัญญาณเอาต์พุตบางส่วนป้อนกลับมาเพื่อเปรียบเทียบกับสัญญาณอินพุตของวงจรอีกและจะทำให้เกิดความแตกต่างขึ้นระหว่างสัญญาณเอาต์พุตทั้งสองสภาวะ วงจรชmitt-trigger สามารถแบ่งได้ 2 ชนิด คือ วงจรชmitt-trigger แบบทวนเข็มนาฬิกา (Counterclockwise Schmitt trigger) และวงจรชmitt-trigger แบบตามเข็มนาฬิกา (Clockwise Schmitt trigger) การทำงานของวงจรทั้งสองมีรายละเอียดดังนี้ (วรพงศ์, 2545)



(ก) รายละเอียดวงจร



(ข) กราฟลักษณะสมบัติของวงจร



(ค) รูปคลื่นระหว่าง V_in กับ V_out

ภาพที่ 2-7 วงจรชmitt์ทริกเกอร์แบบทวนเข็มนาฬิกา

2.2.1 วงจรชmitt์ทริกเกอร์แบบทวนเข็มนาฬิกา (Counterclockwise Schmitt trigger)

วงจรชmitt์ทริกเกอร์แบบทวนเข็มนาฬิกาที่ใช้ออปแอมป์ ดังแสดงในภาพที่ 2-7 (ก) ซึ่งประกอบด้วยวงจรเบรียบเทียบแรงดันและตัวต้านทาน R_1 และ R_2 ทำหน้าที่เป็นส่วนป้อนกลับแบบบวก หากพิจารณาวงจร จะเห็นได้ว่าแรงดันอินพุตของวงจรนั้นถูกเบรียบเทียบกับแรงดันขีดเริ่ม (Threshold Voltage, V_{th}) ที่ได้จากการป้อนกลับโดยใช้ R_1 และ R_2 ซึ่งมีค่าเช่นกับแรงดันเอาต์พุตของวงจร ดังนั้นจึงทำให้แรงดันเอาต์พุตของวงจร V_{out} เปลี่ยนแปลงสองสภาวะ คือ $V_{out} = V_{OH}$ และ $V_{out} = V_{OL}$ โดยมีค่าแรงดันขีดเริ่มเท่ากับ

$$V_{TL} = -\frac{R_1}{R_2} V_{OL} \quad (2-38)$$

และ

$$V_{TH} = -\frac{R_1}{R_2} V_{OH} \quad (2-39)$$

โดยที่ V_{TH} และ V_{TL} คือแรงดันขีดเริ่มด้านสูงและด้านต่ำตามลำดับ

จากราฟลักษณะสมบัติของวงจรดังภาพที่ 2-7 (ข) ค่าความแตกต่างที่เกิดขึ้นระหว่างสัญญาณเอาร์พตทั้งสองสภาวะนี้เรียกว่า ไฮสเตอเรซิส (Hysteresis) และความกว้างของสภาวะไฮสเตอเรซิส (Hysteresis width, V_H) ถูกกำหนดโดย

$$V_H = V_{TH} - V_{TL} \quad (2-40)$$

แทนค่าสมการที่ (2-38) และ (2-39) จะได้

$$V_H = \frac{R_1}{R_2} (V_{OH} - V_{OL}) \quad (2-41)$$

ซึ่งสามารถเปรียบได้ด้วยการปรับอัตราส่วนของ R_1/R_2

2.2.2 วงจรชmitt-trigger แบบตามเข็มนาฬิกา (Clockwise Schmitt trigger)

ภาพที่ 2-8 (ก) แสดงวงจรชmitt-trigger แบบตามเข็มนาฬิกา มีรายละเอียดเหมือนวงจรชmitt-trigger แบบทวนเข็มนาฬิกาที่แสดงในภาพที่ 2-8 (ก) แต่มีข้อแตกต่างที่แรงดันอินพุตของกรณีนี้ ถูกป้อนกลับเข้าทางขาด้านอินพุต (-) ในขณะที่ขาด้านอินพุต (+) ต่อลงกราวน์ค์แทน เนื่องจากการป้อนกลับแบบบวกทำให้แรงดันเอาร์พตของวงจร V_{out} เปลี่ยนแปลงอยู่สองสภาวะคือ V_{OH} และ V_{OL} โดยมีค่าแรงดันขีดเริ่มเท่ากับ

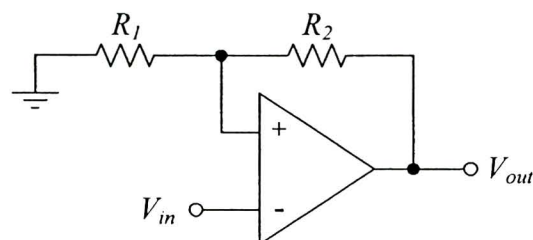
$$V_{TH} = \frac{R_1}{R_1 + R_2} V_{OH} \quad (2-42)$$

และ

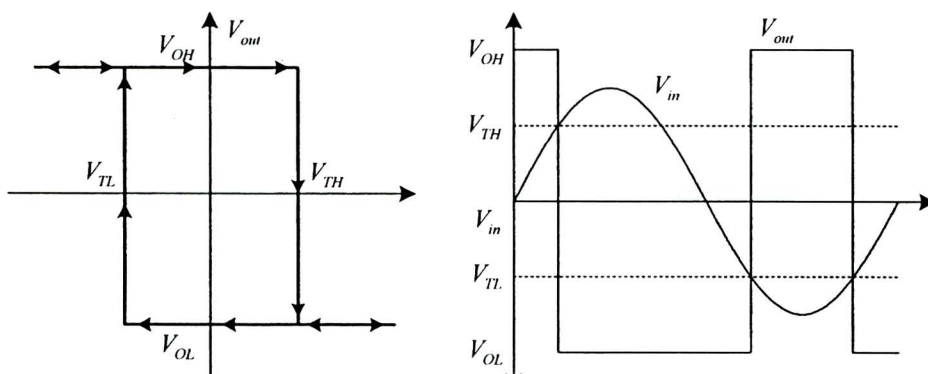
$$V_{TL} = \frac{R_1}{R_1 + R_2} V_{OL} \quad (2-43)$$

กราฟลักษณะสมบัติของวงจรดังภาพที่ 2-8 (ข) จะเห็นได้ว่ามีช่วงการเปลี่ยนแปลงสัญญาณในแนวตั้งเหมือนกับกราฟลักษณะสมบัติของวงจรชั้นต่ำที่ริกเกอร์แบบทวนเข็มนาฬิกา แต่มีพิเศษทางตรงกันข้ามกัน ขณะที่รูปคลื่นของแรงดันเอต์พุตของวงจรในภาพที่ 2-8 (ค) จะมีเฟสต่างไปจากรูปคลื่นของแรงดันเอต์พุตของวงจรในภาพที่ 2-8 (ค) เป็นมุม 180° และจากสมการที่ (2-42) และ (2-43) จะได้

$$V_H = \frac{R_1}{R_1 + R_2} (V_{OH} - V_{OL}) \quad (2-44)$$



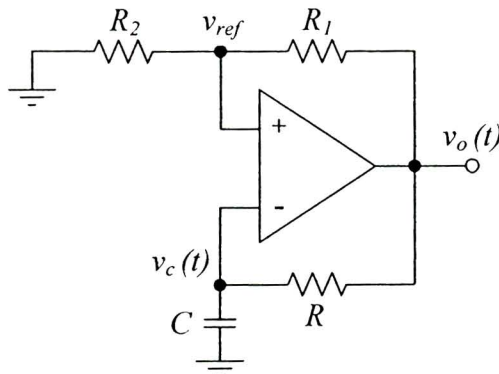
(ก) รายละเอียดวงจร



(ข) กราฟลักษณะสมบัติของวงจร

(ค) รูปคลื่นระหว่าง V_{in} กับ V_{out}

ภาพที่ 2-8 วงจรชั้นต่ำที่ริกเกอร์แบบตามเข็มนาฬิกา



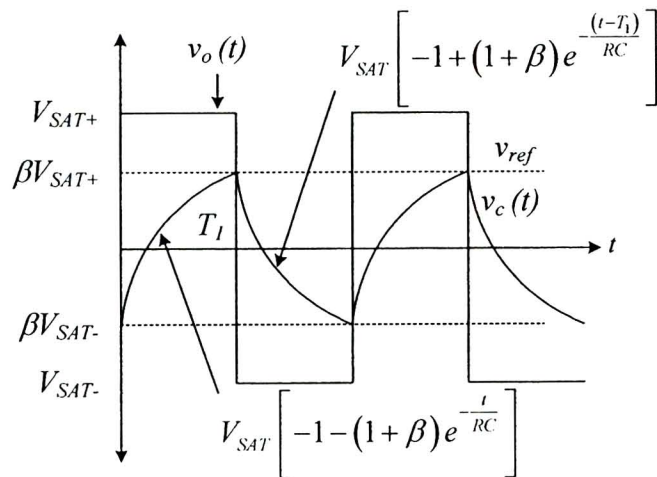
ภาพที่ 2-9 วงจรให้กำเนิดสัญญาณรูปคลื่นสี่เหลี่ยมเบื้องต้น

2.3 วงจรกำเนิดสัญญาณสี่เหลี่ยมเบื้องต้น

มนตรี (2547: 35) ได้กล่าวไว้ว่า โดยทั่วไปการให้กำเนิดสัญญาณรูปคลื่นสี่เหลี่ยมพื้นฐานที่สุดจะใช้อปเปนปีซึ่งวงจรนี้อาจมีชื่อเรียกหลายชื่อ เช่น วงจรออสซิลเลเตอร์แบบบีแลกเชชัน (Relaxation Oscillator) วงจรออสซิลเลเตอร์แบบชมิกต์ทริกเกอร์ (Schmitt-trigger Oscillator) หรือ วงจรสเตเบิล มัลติไวนเบรเตอร์ (Astable Multivibrator) ลักษณะโครงสร้างของวงจรแสดงในภาพที่ 2-9

หลักการทำงานของการให้กำเนิดสัญญาณรูปคลื่นสี่เหลี่ยม คือการบังคับให้อปเปนปีทำงานในสภาพอิ่มตัว (Saturation Region) ในด้านลบและด้านบวกสลับกันไป จากรูปในภาพที่ 2-9 อัตราส่วน $\beta = R_2 / (R_1 + R_2)$ ของเอาต์พุตสัญญาณสี่เหลี่ยม $v_o(t)$ จะถูกป้อนกลับไปยังขาเข้าไม่กลับเฟส (Non-inverting input) ดังนั้นแรงดันอ้างอิง (Reference Voltage, v_{ref}) ที่จุดนี้จะเป็นค่า βV_{SAT+} หรือ βV_{SAT-} เมื่อ V_{SAT+} และ V_{SAT-} คือ แรงดันอิ่มตัวสูงสุดด้านบวกและลบของอปเปนปี ตามลำดับ ซึ่งโดยทั่วไปมีค่าประมาณ 90% ของขนาดแรงดันแหล่งจ่าย ในอีกด้านหนึ่งของวงจรจะเห็นว่า แรงดันเอาต์พุต $v_o(t)$ จะถูกป้อนกลับไปเข้ายังขาเข้ากลับเฟส (Inverting input) โดยมีตัวเก็บประจุที่ต่ออยู่กับกราวน์ ทำให้แรงดันที่ตกคร่อมตัวเก็บประจุ $v_c(t)$ เป็นแรงดันที่เปลี่ยนแปลงตามการเก็บประจุหรือคายประจุของตัวเก็บประจุ และเมื่อได้ค่าที่ $v_c(t)$ มีค่า

เปลี่ยนแปลงจนถึงค่า v_{ref} เอาต์พุต $v_o(t)$ จะเปลี่ยนแปลงสถานะไป ซึ่งกรณีนี้จะเห็นว่า ออกแบบป์ทำหน้าที่ของวงจรเปรียบเทียบแรงดัน (Comparator) ไปในตัว



ภาพที่ 2-10 รูปคลื่นสัญญาณของวงจรให้กำเนิดสัญญาณรูปคลื่นสี่เหลี่ยมเบื้องต้น

สำหรับความถี่และความเวลา จะพบว่าถูกกำหนดมาจากเวลาที่ตัวเก็บประจุใช้ในการเก็บประจุหรือขายประจุในช่วงแรงดัน βV_{SAT-} ถึง βV_{SAT+} ดังนั้นแรงดันที่ตอกคร่อมตัวเก็บประจุจะขึ้นอยู่กับเวลา ซึ่งถูกกำหนดโดย

$$v_C(t) = V_f + (V_i - V_f) e^{-\frac{t}{RC}} \quad (2-45)$$

เมื่อ V_f เป็นแรงดันค่าสุดท้าย

V_i เป็นแรงดันค่าเริ่มต้น

โดยที่

$$V_f = V_{SAT+}$$

$$V_i = \beta V_{SAT-}$$

ดังนั้น

$$v_C(t) = V_{SAT+} + (\beta V_{SAT-} - V_{SAT+}) e^{-\frac{t}{RC}}$$

หรือ

$$v_C(t) = V_{SAT+} - V_{SAT+}(1+\beta)e^{-\frac{t}{RC}} \quad (2-46)$$

ที่เวลา $t = T_1$ แรงดันที่ตอกคร่อมตัวเก็บประจุมีค่าเป็น $+V_{SAT}$ และแรงดันเอาต์พุต $v_O(t)$ จะสวิตซ์จาก $+V_{SAT}$ เป็น $-V_{SAT}$
ดังนั้น จะได้ว่า

$$v_C(T_1) = V_{SAT+} = V_{SAT+}(1+\beta)e^{-\frac{T_1}{RC}} \quad (2-47)$$

เมื่อ

$$\beta = 1 - (1+\beta)e^{-\frac{T_1}{RC}}$$

$$(1+\beta)e^{-\frac{T_1}{RC}} = 1 - \beta$$

$$-\frac{T_1}{RC} = \ln \frac{1-\beta}{1+\beta}$$

ดังนั้น

$$T_1 = RC \ln \frac{1+\beta}{1-\beta}$$

ซึ่ง T_1 เป็นช่วงเวลาเพียงครึ่งความเวลา (T)

$$T = 2T_1 = 2RC \ln \frac{1+\beta}{1-\beta} \quad (2-48)$$

จากสมการพบว่า ถ้า V_{SAT+} มีขนาดเท่ากับ V_{SAT-} จะได้ $v_O(t)$ เป็นสัญญาณรูปคลื่นสี่เหลี่ยมที่มีความสมมาตรกัน (Symmetrical Waveform)

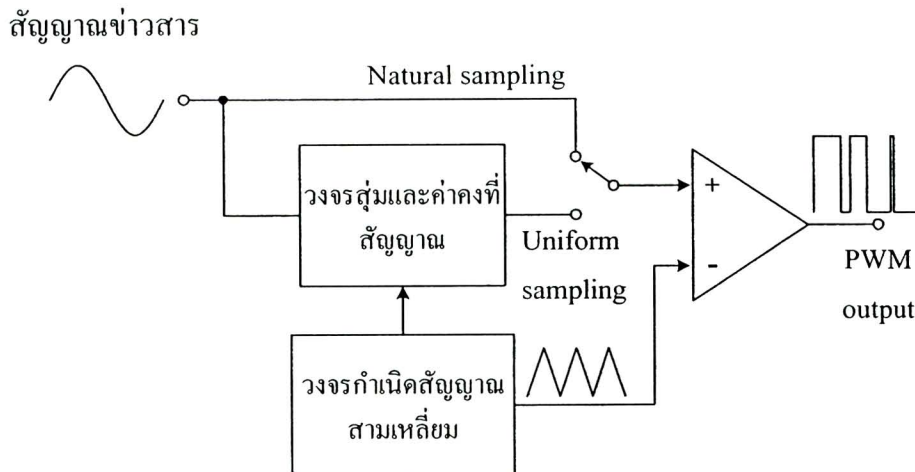
ในสมการที่ (2-48) ถ้า $R_1 = R_2$ ทำให้ $\beta = 0.5$ จะได้ว่า $T = 2RC \ln 3$ และถ้า $R_1 = 1.16R_2$ ก็จะได้ว่า $T = 2RC$ หรือ

$$f_o = \frac{1}{2RC} ; R_1 = 1.16R_2$$

และจะได้แรงดันเอาต์พุต v_o จากยอดถึงยอด

$$v_{o(p-p)} = 2V_{SAT} \quad (2-49)$$

จากสมการที่ (2-49) พบร้า ค่าขนาดจากยอดถึงยอดของแรงดันเอาต์พุต v_o ขึ้นอยู่กับระดับไฟเลี้ยงของวงจร ส่วนความถี่นั้นมีขีดจำกัดจากอัตราสกุล (Slew rate) ของอปแอมป์ที่ใช้ซึ่งโดยทั่วไปจะน้อยกว่า $100kHz$



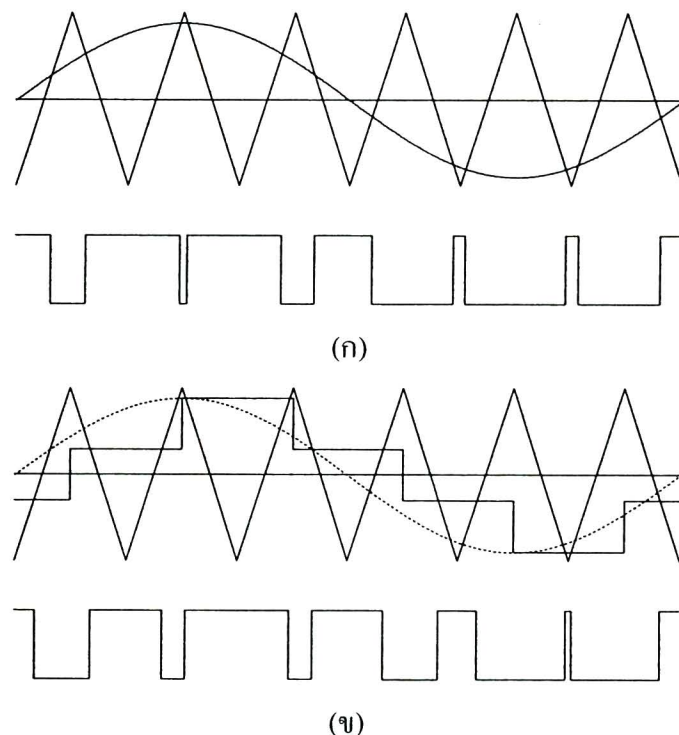
ภาพที่ 2-11 แผนผังของวงจรสร้างสัญญาณ PWM

2.4 วงจรmodulator ความกว้างพัลส์เบื้องต้น

มนตรี (2547: 52) ได้กล่าวไว้ว่า การ modulator แบบความกว้างของพัลส์ (Pulse Width Modulation) นั้นมีการใช้งานกันอย่างกว้างขวางในหลายแขนง ทั้งในด้านการสื่อสาร เนื่องจากเป็นวิธีหนึ่งในการส่งสัญญาณข้ามฟาก โดยเฉพาะอย่างยิ่งการสื่อสารทางแสง (Optical communication) ซึ่งใช้สัญญาณ PWM เป็นสัญญาณขับตัวขับแสง (Suh, 1987, Zhang and Keawnin, 1996a and Zhang and Keawnin, 1996b) หรือใช้ในการแปลงสัญญาณดิจิตอลเป็นอะนาล็อก (Digital to Analog conversion) (Halper et. al., 1996, Ramalho and Dias, 2000 and Sandler, 1993) รวมทั้งในด้านการควบคุมมุมนำร่องแบบอุปกรณ์อิเล็กทรอนิกส์กำลัง (Rossetto and Buso, 2003 and

Kukrer and Komurcugil, 2003) และ wang จรรยาบยำกำลังคลาส D นอกจากนี้ยังใช้กับงานอื่นๆ ที่เกี่ยวข้องกับทางด้านวิศวกรรมไฟฟ้าอีกมากมาย

โดยทั่วไปแล้ว สำหรับหลักการของวงจรกำเนิดสัญญาณ PWM จะมีอยู่ 2 รูปแบบ ได้แก่ สัญญาณ PWM ที่ใช้วิธี Natural sampling (NPWM) และสัญญาณ PWM ที่ใช้วิธี Uniform sampling (UPWM) โดยมีโครงสร้างตามที่แสดงในภาพที่ 2-11 (Goldberg and Sandler, 1994) และรูปแบบของสัญญาณทั้งสองแสดงไว้ในภาพที่ 2-12



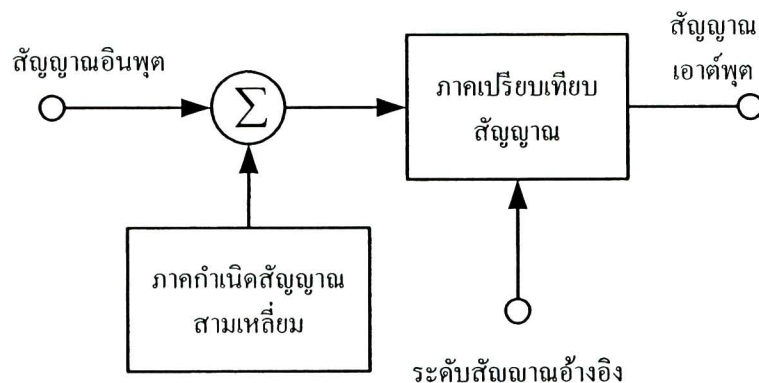
ภาพที่ 2-12 (ก) สัญญาณ PWM ที่ใช้วิธี Natural sampling

(ข) สัญญาณ PWM ที่ใช้วิธี Uniform sampling

จากสัญญาณ PWM ในภาพที่ 2-12 จะเห็นได้ว่าค่าความเวลาของ NPWM มีค่าไม่คงที่โดยขึ้นอยู่กับสัญญาณอินพุตที่เข้ามา แต่ในส่วนของ UPWM นั้นความเวลาจะมีค่าคงที่ แต่จากสัญญาณทั้งสองแบบสามารถพิจารณาได้ว่า กรณีที่ความถี่ของสัญญาณพาก็อสัญญาณสามเหลี่ยมที่นำมาเปรียบเทียบนั้นมีค่าสูงกว่าความถี่ของสัญญาณอินพุตที่เป็นสัญญาณชั่วสารมาก (มากกว่า 10 เท่า)

ก็จะพบว่าสัญญาณ PWM มีค่าความเวลาคงที่ได้ (Holtz, 1992) ส่วนสัญญาณสามเหลี่ยมที่ใช้เป็นคลื่นพานั้นมีอยู่ 2 แบบคือ สัญญาณสามเหลี่ยมแบบฟันเลื่อยและสัญญาณสามเหลี่ยมนธรรมชาติ สัญญาณ PWM ที่ได้จากการเปรียบเทียบกับสัญญาณสามเหลี่ยมแบบฟันเลื่อยจะเป็นสัญญาณ PWM แบบ Single side ส่วนสัญญาณ PWM ที่เปรียบเทียบกับสัญญาณสามเหลี่ยมนธรรมชาติจะเป็นสัญญาณ PWM แบบ Double side (Bresch et. al., 1998 and Mellor et. al., 1994)

สำหรับในระบบสื่อสารนั้น สัญญาณ PWM ที่นิยมใช้เป็นแบบ Double side NPWM เนื่องจากโครงสร้างมีความซับซ้อนน้อยกว่า เพื่อให้สามารถปรับค่าระดับอ้างอิงของสัญญาณที่มีผลต่อการควบคุมค่าความกว้างของพัลส์ได้ โครงสร้างของการกำเนิดสัญญาณ PWM จึงมีแผนผังการทำงานดังภาพที่ 2-13 (Couch, 1997, Roden, 1996, Schoenbeck, 1992 and Stremler, 1982) ซึ่งเป็นโครงสร้างที่ใช้ในระบบสื่อสารโดยทั่วไป โดยเฉพาะการสื่อสารทางแสง

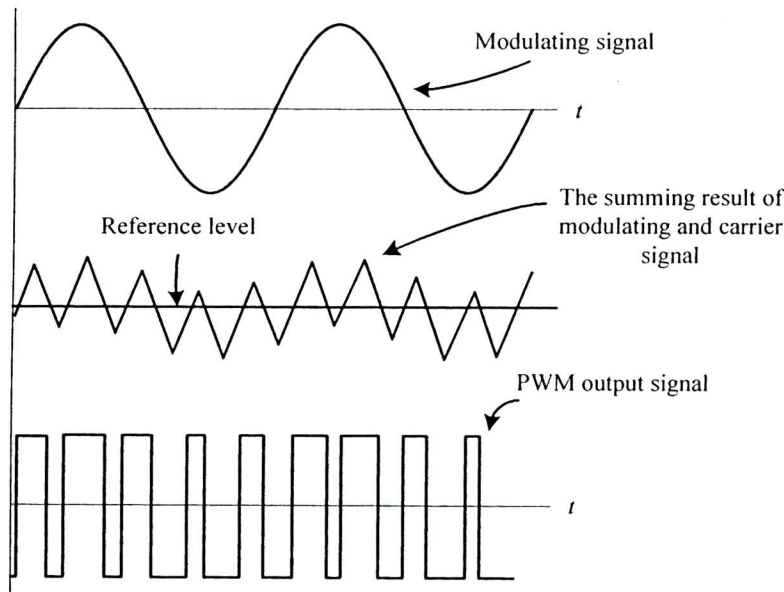


ภาพที่ 2-13 แผนผังของการกำเนิดสัญญาณ PWM โดยทั่วไปที่ใช้ในระบบสื่อสาร

จากแผนผังของวงจรmodulatorแบบความกว้างพัลส์โดยทั่วไปดังแสดงในภาพที่ 2-13 เมื่อสัญญาณอินพุต ซึ่งเป็นสัญญาณข่าวสาร (Modulating Signal) ตามสัญญาณเส้นบนของภาพที่ 2-13 นาร่วมกับสัญญาณสามเหลี่ยมที่ถูกกำเนิดมาจากภาคกำเนิดสัญญาณสามเหลี่ยมแล้ว สัญญาณที่ได้จากการรวม จะเป็นสัญญาณสามเหลี่ยมที่มีขนาดเปลี่ยนแปลงไปตามสัญญาณอินพุตโดยที่ความถี่ยังคงเดินตามสัญญาณเส้นที่สองของภาพที่ 2-14 เมื่อนำสัญญาตนี้มาผ่านภาคเปรียบเทียบสัญญาณกับระดับอ้างอิง (Reference level) จะได้สัญญาณเอ้าท์พุตเป็นสัญญาณสี่เหลี่ยม

ที่เปลี่ยนแปลงความกว้างของรูปคลื่นไปตามขนาดของผลรวมสัญญาณอินพุต กับสัญญาณสามเหลี่ยมตามสัญญาณเส้นล่างสุดของภาพที่ 2-14

ผลของสัญญาณดังภาพที่ 2-14 เห็นได้ชัดเจนว่า ความถี่ของสัญญาณ PWM เอ้าด์พุต มีค่าไม่คงที่ ซึ่งจะส่งให้เกิดความผิดเพี้ยน (Distortion) ของสัญญาณที่กู้คืน (Recovered signal) ได้ (Zheren and Smedley, 1998) หรือเกิดความยากขึ้นในการควบคุม (Kazerani et. al., 1991)



ภาพที่ 2-14 ตัวอย่างสัญญาณที่มุ่งต่างๆ ของแผนผังของการกำเนิดสัญญาณ PWM ในภาพที่ 2-13

สมการของสัญญาณ PWM โดยทั่วไปสามารถแสดงได้จาก

$$v_{PWM}(t) = \frac{Akv_i(t)}{T} + \frac{A}{\pi} \sum_{n=1}^{\infty} \left\{ \frac{\sin(n\omega_o t)}{n} - \frac{\sin[n\omega_o(t - kv_i(t))]}{n} \right\} \quad (2-50)$$

เมื่อ A คือ ขนาดของสัญญาณพาห์

k คือ ค่าคงที่ของวงจร

$v_i(t)$ คือ สัญญาณข่าวสารอินพุต

ω_0 เป็น ความถี่ฐาน (Fundamental frequency) ของสัญญาณพาร์มีค่าเท่ากับ $\frac{2\pi}{T}$ เมื่อ T

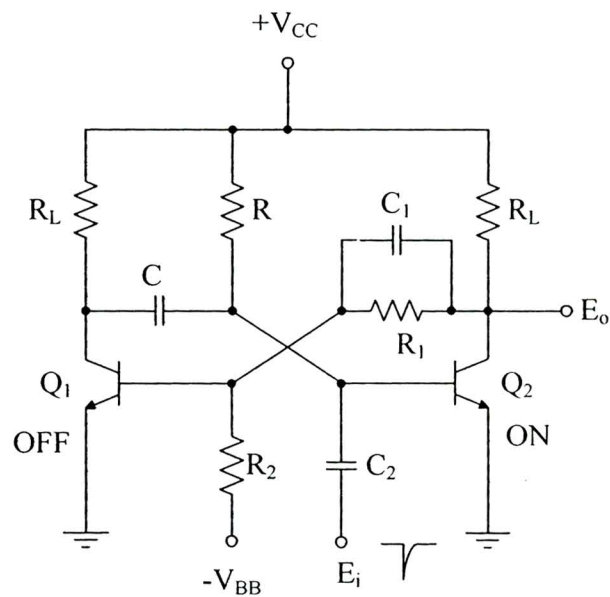
คือ ความเวลาของสัญญาณ

ซึ่งจะพบว่า สัญญาณ PWM นั้นมีส่วนประกอบอยู่สองส่วนใหญ่ๆ คือ ประกอบด้วยสัญญาณข่าวสารที่ถูกสเกลด้วย $\frac{Ak}{T}$ อยู่ที่ความถี่ต่ำ และอีกส่วนคือ ส่วนประกอบของความถี่สูงซึ่งประกอบด้วยสัญญาณพาร์และสัญญาณมอคุเลเตชิงเฟส และมีขนาดลดหลั่นกันไปตามค่าของ n ดังนั้นหากต้องการสัญญาณข่าวสารกลับคืนมา สามารถทำได้โดยการใช้วงจรกรองความถี่ต่ำ (Siripruchyanun and Wardkein, 2001)

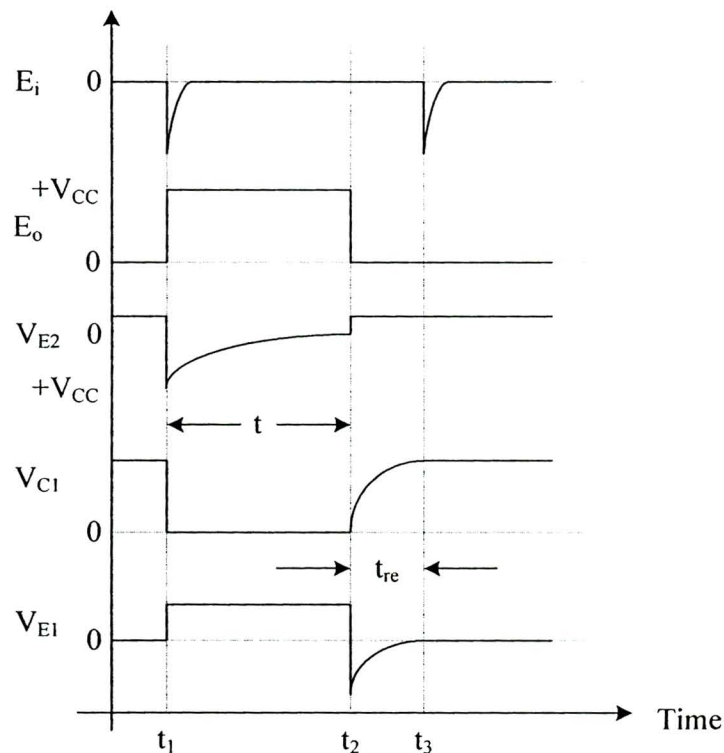
2.5 วงจรโมโนสเตเบิลเมลติไวเบรเตอร์ (Monostable multivibrator)

เอกสาร (2553) ได้กล่าวไว้ว่า วงจร โมโนสเตเบิลเมลติไวเบรเตอร์เป็นวงจรที่มีการเปลี่ยนแปลงการทำงานเมื่อมีสัญญาณอินพุตหรือสัญญาณกระตุ้นมาควบคุมการทำงาน การทำงานของวงจรแล้วจะครั้งจะทำงานเพียงสภาวะเดียว โดยที่วงจรหนึ่งจะทำงานตลอดเวลาส่วนอีกวงจรหนึ่งจะคัดออกตลอดเวลา วงจรจะอยู่ในสภาวะเช่นนี้จนกว่าจะมีสัญญาณอินพุตมากระตุ้น สภาวะการทำงานจะกลับกันชั่วขณะ คือวงจรที่ทำงานอยู่จะคัดออก วงจรที่คัดออกฟอยู่จะทำงานแทน หลังจากช่วงเวลาที่กำหนดไว้หมดลง วงจรจะกลับไปอยู่ในสภาวะเดิมจนกว่าจะมีอินพุตใหม่ป้อนเข้ามาอีก

วงจร โมโนสเตเบิลเมลติไวเบรเตอร์นี้ จะประกอบไปด้วยวงจรกลับสัญญาณ (inverter circuit)สองวงจร ซึ่งເອົາເຕີພຸດຂອງวงຈາກລັບສัญญาณวงຈາກແຮກ ຈະຄູກນໍາມາເປັນອິນພຸດຂອງວິທີສອງ โดยວິທີເຊື່ອນຕ່ອຳຜ່ານຕັ້ງຖານ-ຕັ້ງເກີນປະຈຸ (R-C coupling) ແລະເອົາເຕີພຸດຂອງວິທີສອງຈະຄູກນໍາເອານາເປັນອິນພຸດ ຂອງວິທີແຮກໂດຍວິທີເຊື່ອນຕ່ອຳຜ່ານຕັ້ງຖານ (resistive coupling) ສัญญาณແຮງດັນທີໃຫຍ່ເປັນສัญญาณທີ່ໄດ້ເອົາເຕີພຸດທີ່ໄດ້ນີ້ ໂດຍປົກຕົມກົມືລັກຂະນະແບບສัญญาณດິຟຝີເພື່ອເຮັນຊີເອຕ ທີ່ມີຄື່ງລ່າງເພີ່ງຄື່ງເດືອນ ແລະຈະທຳໃຫ້ທີ່ເອົາເຕີພຸດຂອງວິທີ โมโนสเตเบิลเมลติไวเบຣເຕອຣນີມີຮູບປ່າງເປັນຄື່ນຮູບປ່ານເຫດຢືນນຸ່ມຈາກ (rectangular) ສัญญาณເອົາເຕີພຸດທີ່ໄດ້ນີ້ ມັກຄູກນໍາໄປໃຫ້ໃນການກົມວິທີພລສີ່ອື່ນໆ ເຊັ່ນ ວິທີເກີຕ (Gate circuit) ເປັນຕົ້ນ ແລະວິທີມັດຕິໄວເບຣເຕອຣແບບນີ້ຈາກຄູກເຮັກອີກອ່າງໜຶ່ງໄດ້ວ່າ ວິທີໜ່ວງສัญญาณ (Delay circuit) ແລະວິທີ โมโนสเตເບີລັມັດຕິໄວເບຣເຕອຣນີນັ້ນບາງຄື້ງກໍຈະເຮັກວ່າ ວິທີໜ້ອມັດຕິໄວເບຣເຕອຣ (One-shot multivibrator) ດັ່ງແສດງດັ່ງກລທີ 2-15



(ก) รายละเอียดของเจ้าหน้าที่

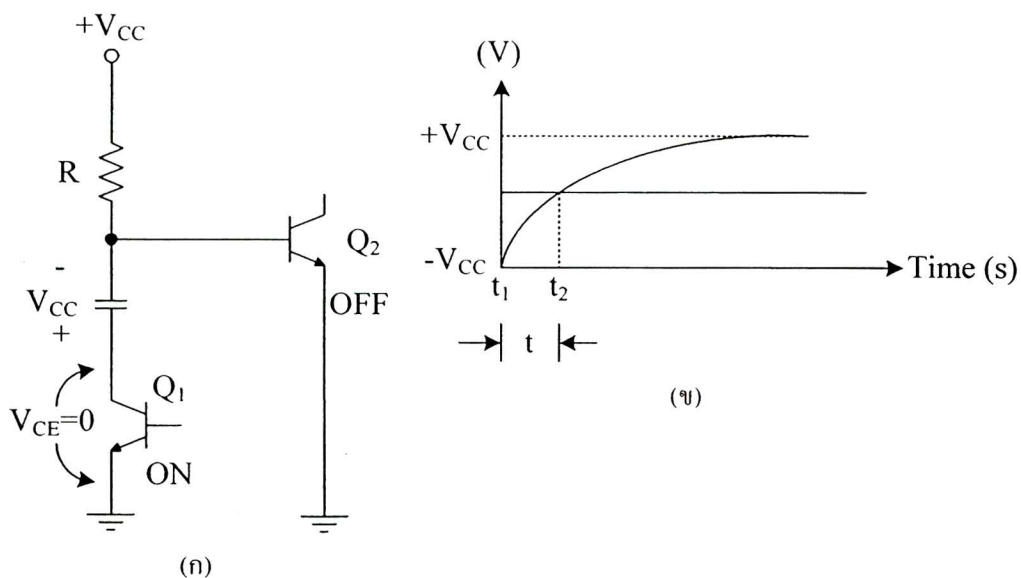


(ก) สัญญาณตามจุดต่างๆ

ภาพที่ 2-15 วงจรโนนสเตเบิลมัลติไวย์เบรเตอร์ที่ใช้ทรานซิสเตอร์

จากภาพที่ 2-15 เป็นวงจรโมโนไซเดิมลิตไวเบรเตอร์ ประกอบด้วยทรานซิสเตอร์ 2 ตัว ในการทำงานสภาวะปกติที่ยังไม่มีสัญญาณอินพุตป้อนเข้ามา ทรานซิสเตอร์ Q_1 จะไม่นำกระแส (OFF) ส่วนทรานซิสเตอร์ Q_2 จะนำกระแส (ON) เป็นสภาวะเสถียรภาพของวงจร ตัวเก็บประจุ C จะประจุแรงดันถึงค่า V_{CC} มีขั้นแรงดันช้ายบกวนมวลแสดงดังภาพที่ 2-14

ที่เวลา t_1 วงจรแบ่งแรงดัน R_1 และ R_2 ร่วมกันแหล่งจ่ายแรงดัน $-V_{BB}$ จ่ายแรงดันไปออกขอนกลับให้ทรานซิสเตอร์ Q_1 ทำให้ทรานซิสเตอร์ Q_1 ไม่นำกระแส (OFF) ในสภาวะเสถียรภาพนี้ เมื่อมีสัญญาณพัลส์แบบลบป้อนเข้ามาที่เบสของทรานซิสเตอร์ Q_2 ที่เวลา t_{+1} ทำให้ทรานซิสเตอร์ Q_2 กลับไปอยู่ในสภาวะไม่นำกระแส (OFF) ขาดอคอลเด็กเตอร์ของทรานซิสเตอร์ Q_2 จะมีแรงดันค่อยๆ เพิ่มขึ้นจนถึงค่า V_{CC} มีผลทำให้ขาเบสของทรานซิสเตอร์ Q_1 นำกระแส (ON) จนถึงจุดอิ่มตัวเสมือนหากอคอลเด็กเตอร์ของทรานซิสเตอร์ Q_1 ถูกต่อลงกราวน์ด์ ทำให้แผ่นเพลตขึ้นบวกของตัวเก็บประจุ C ถูกต่อลงกราวน์ด์แสดงได้ดังภาพที่ 2-16



ภาพที่ 2-16 สภาวะการคายประจุของ C ผ่านทรานซิสเตอร์

(ก) การทำงานของวงจรช่วง t_{+1} (ข) การเก็บประจุของตัวเก็บประจุ C จากเวลา t_{+1} ถึง t_2

ที่เวลา t_{+1} ทรานซิสเตอร์ Q_2 ได้รับแรงดันไปออกลับเมื่อขนาดแรงดันเท่ากับ V_{CC} ตัวเก็บประจุ C ประจุแรงดันจาก $-V_{CC}$ จนถึง $+V_{CC}$ ผ่านตัวต้านทาน R และทรานซิสเตอร์ Q_1 แรงดันที่ถูก

ประจุไว้ที่ตัวเก็บประจุ C เป็นแรงดัน 0 V ทรานซิสเตอร์ Q₂ เริ่มน้ำกระแสอิกครั้งเมื่อตัวเก็บประจุ C เริ่มประจุแรงดันเป็นขั้วตรงข้ามช่วงเวลาที่ทรานซิสเตอร์ Q₂ ไม่น้ำกระแสแต่คือช่วงเวลาที่เป็นแรงดันพลัสด์ออกเอาต์พุต E_o ในช่วงเวลา t ตามภาพที่ 2-15 (ข) แรงดันที่ตกลงรอมตัวเก็บประจุ C จะทำให้ทรานซิสเตอร์ Q₂ ได้รับแรงดันใบแอดส์บันกลับดังนั้นทรานซิสเตอร์ Q₂ จะคงสภาพ OFF ต่อไป กระหั่งแรงดันนี้มีค่าเป็น 0 V ช่วงเวลาซึ่งทรานซิสเตอร์ Q₂ มีสภาพ OFF อยู่นี้ก็คือ "ขนาดความกว้างของพลัสด์" (pulse duration time) t ที่เอาต์พุตนั่นเอง

จากภาพที่ 2-16 ช่วงเวลาซึ่งตัวเก็บประจุ C ใช้ในการเก็บประจุกระหั่งมีแรงดันตกคร่อมเป็น 0 V โดยทำให้มีกระแสไฟ流ผ่านตัวต้านทาน R อาจหาได้จากสมการของการเก็บประจุดังนี้

$$e_C = E - (E \pm E_{CO}) e^{-t/RC} \quad (2-51)$$

ซึ่งในกรณีของวงจรโมโนสเตเบลเมื่อแทนค่าต่างๆ ลงในสมการที่ (2-51) จะเขียนได้ว่า

$$0 = V_{CC} - (V_{CC} + V_{CC}) e^{-t/RC}$$

$$0 = V_{CC} - 2V_{CC} e^{-t/RC}$$

$$2V_{CC} = V_{CC} e^{-t/RC}$$

$$e^{+t/RC} = 2$$

$$t = \frac{RC \log_{10} 2}{\log_{10} e} = \frac{RC (0.301)}{0.434}$$

ดังนั้นจะได้ t ดังนี้

$$t = 0.69 RC \quad (2-52)$$

ในทางปฏิบัติ ค่าแรงดันที่ตกลงรอมตัวเก็บประจุจะมีค่าเพียง 90 % ของค่า V_{CC}

$$e_C = E - (E \pm E_{CO}) e^{-t/R_C}$$

$$0.9V_{CC} = V_{CC} - (V_{CC} + 0) e^{-t_{re}/R_L C}$$

$$0.9V_{CC} = V_{CC} - \left(\frac{V_{CC}}{e^{t_{re}/R_L C}} \right)$$

$$\frac{V_{CC}}{e^{t_{re}/R_L C}} = 0.1V_{CC}$$

$$e^{t_{re}/R_L C} = 10$$

$$t_{re} = \frac{R_L C \log_{10} 10}{\log_{10} e} = \frac{R_L C (1.0)}{0.434}$$

ดังนั้นช่วงเวลา t_{re} หาค่าได้จาก

$$t_{re} = 2.3 R_L C \quad (2-53)$$

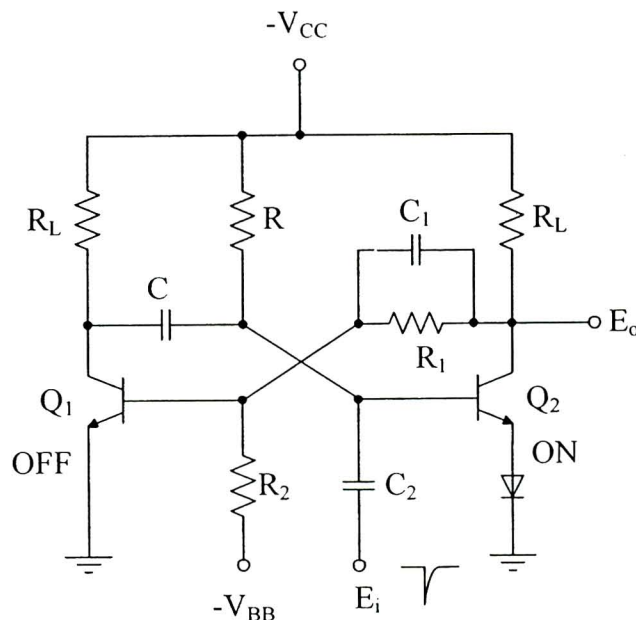
จากสมการที่ (2-52) และ (2-53) ช่วงเวลาอย่างน้อยที่สุดที่จะต้องใช้สำหรับการกระตุนวงจรโมโนส เตเบิลมัลติไவเบรเตอร์คือ

$$T = t + t_{re} = (0.69 R + 2.3 R_L C) C \quad (2-54)$$

แรงดันที่ใบแอสกัลับที่จ่ายให้ร้อยต่อที่จ่ายให้อิมิตเตอร์กับเบสของทรานซิสเตอร์ Q_2 ที่เวลา t_{+1} มีค่าเท่ากับแหล่งจ่าย V_{CC} ถ้าแรงดันที่ใบแอสกัลับที่ป้อนให้ร้อยต่ออิมิตเตอร์กับเบสมีค่ามากกว่าค่าทอนได้ของทรานซิสเตอร์ (V_{EO}) ทรานซิสเตอร์อาจจะชำรุดเสียหายได้ทันที การป้องกันทำได้โดยต่อไดโอดอนุกรมเข้ากับขาอิมิตเตอร์ของทรานซิสเตอร์ Q_2 ก่อนลงกราวน์ด์แสดงดังภาพที่ 2-17

จากภาพที่ 2-17 เป็นวงจรโมโนสเตเบิลมัลติไவเบรเตอร์ชนิดต่อเพิ่มไดโอดที่ขาอิมิตเตอร์ของทรานซิสเตอร์ Q_2 ช่วยป้องกันการพังทลายของร้อยต่ออิมิตเตอร์กับเบส ซึ่งเมื่อตัวเก็บประจุ C ประจุแรงดันถึงแหล่งจ่าย V_{CC} จ่ายมาต่อกันร้อมขาเบสกับกราวน์ดของทรานซิสเตอร์ Q_2 เป็นใบแอสกัลับจะเป็นแรงดันต่ำคร่อมร้อยต่ออิมิตเตอร์กับเบสส่วนหนึ่ง และเป็นแรงดันต่ำคร่อมไดโอด D

อีกส่วนหนึ่ง ไดโอด D ทำหน้าที่เป็นวงจรแบ่งแรงดันไบแอสกลับของ V_{CC} ที่จ่ายให้ช่วยป้องกันไม่ให้แรงดันไบแอสกลับที่ต่อกครองระหว่างรอยต่ออิมิตเตอร์กับเบสมีค่าสูงเกินกว่าแรงดัน V_{EBO} ที่ทรานซิสเตอร์ Q_2 จะทนได้



ภาพที่ 2-17 วงจรไนโอนสเตเบิลมัลติไบเบรเตอร์ชนิดต่อเพิ่ม ไดโอดที่ขาอิมิตเตอร์ Q_2

2.6 ชุดการสอน

2.6.1 ความหมายของชุดการสอน

วินัย (2552: 53) ได้กล่าวไว้ว่า ชุดการสอนเป็นนวัตกรรมทางการศึกษาอย่างหนึ่ง ภาษาอังกฤษใช้ชื่อต่างๆ กัน เช่น Learning package หรือ Instructions kits ซึ่งเข้ามา มีบทบาทในการจัดการเรียนการสอนและช่วยในการเรียนการสอนให้มีประสิทธิภาพเพิ่มมากขึ้น โดยนักการศึกษาได้ให้ความหมายของชุดการสอนไว้ดังนี้

ชุดการสอน เป็นสื่อประสมที่ได้จากการบการผลิต และการนำสื่อการสอนที่สอดคล้องกับเนื้อหาวิชา หน่วยการเรียน หัวข้อเรื่องและวัตถุประสงค์ เพื่อช่วยให้การเปลี่ยนแปลงพฤติกรรมการเรียนอย่างมีประสิทธิภาพ (ชัยยงค์และคณะ, 2540: 114)

ชุดการสอน หมายถึง ระบบการผลิตและการใช้สื่อประสมอย่างเป็นระบบ โดยให้สอดคล้องกับ วิชา หน่วยการเรียน และหัวข้อเรื่องนั้น วัสดุอุปกรณ์ที่ใช้ในการเรียนการสอน ประกอบด้วยคู่มือครู เนื้อหา ข้อมูลที่เชื่อถือได้ แบบฝึกหัด และมีการกำหนดมาตรฐานอย่างหมายของการเรียนเอาไว้อย่าง ครบถ้วน เพื่อช่วยให้เกิดการเรียนรู้อย่างมีประสิทธิภาพ (ชลิยา, 2540: 293)

ชุดการสอน ก็คือการรวบรวมสื่อการสอนอย่างสมบูรณ์ตามแบบแผนที่วางไว้ เพื่อให้บรรลุ จุดมุ่งหมายของการสอน ชุดการสอนเป็นระบบสื่อประสมสำเร็จรูปเพื่อให้ครูใช้ในการสอนโดยที่ ครูไม่ต้องตระเตรียมสื่ออื่น ๆ หรือวางแผนการสอนใหม่ (สมปอง, 2543: 91)

ชุดการสอน เป็นสื่อการสอนชนิดหนึ่งซึ่งเป็นชุดของสื่อประสม (Multimedia) หมายถึง การใช้ สื่อการสอนด้วยแต่สองชนิดขึ้นไปร่วมกัน เพื่อให้ผู้เรียนได้รับความรู้ตามต้องการ สื่อที่นำมาใช้ ร่วมกันนี้จะช่วยเสริมประสบการณ์ซึ่งกันและกันตามลำดับขั้นที่จัดขึ้นสำหรับหน่วยการเรียนตาม หัวข้อเนื้อหาและประสบการณ์ของแต่ละหน่วย ที่ต้องการจะให้ผู้เรียนได้รับโดยสามารถจะจัด เอาไว้เป็นชุด ๆ บรรจุอยู่ในซอง กล่อง หรือกระป๋า (บุญเกื้อ, 2545: 91)

จากความหมายของชุดการสอนที่นักการศึกษาหลาย ๆ ท่านกล่าวไว้ พолжารุปได้ว่าชุดการ สอน หมายถึง ชุดสื่อประสมที่พัฒนาขึ้นมาอย่างเป็นระบบ โดยมีความสอดคล้องกับเนื้อหาวิชาใน หลักสูตร นำมาใช้ในระบบการเรียนการสอน เพื่อช่วยให้ผู้เรียนเกิดการเรียนรู้อย่างมีประสิทธิภาพ ตามวัตถุประสงค์ที่กำหนดไว้

2.6.2 ประเภทของชุดการสอน

ชุดการสอนมีหลายประเภท แต่ละประเภทมีลักษณะการสร้างและการนำไปใช้แตกต่างกัน ออกไป การนำชุดการสอนมาใช้จะต้องให้เหมาะสมกับประเภทของชุดการสอน เพื่อให้ชุดการสอน นั้นเกิดประสิทธิภาพสูงสุด ดังที่นักการศึกษาหลายท่านได้แยกประเภทของชุดการสอนไว้ ดังต่อไปนี้

2.6.2.1 ชุดการสอนประกอบการบรรยาย หรือที่เรียกอีกอย่างหนึ่งว่า ชุดการสอน สำหรับครูเป็นชุดการสอนที่กำหนดกิจกรรม และสื่อการสอนที่ใช้ประกอบคำบรรยาย เพื่อเปลี่ยน บทบาทของครูให้ลดน้อยลง และเปิดโอกาสให้ผู้เรียนมีส่วนร่วมในกิจกรรมการเรียนมากยิ่งขึ้น ครูผู้สอนสามารถนำชุดการสอนนี้ไปใช้ได้ทันที เนื่องจากชุดการสอนที่ครูเป็นผู้ใช้ บางครั้งจึง เรียกว่า “ชุดการสอนสำหรับครู” ชุดการสอนประกอบคำบรรยายจะมีเนื้อหาเพียงอย่างเดียวโดย

แบ่งเป็นหัวข้อที่บรรยายในทеп แผนภูมิ แผ่นภาพ ภาพยนตร์ โทรทัศน์ และกิจกรรมกลุ่มเพื่อให้นักเรียนได้อภิปรายตามปัญหาและหัวข้อที่ครุกำหนดให้ เพื่อความเรียบร้อยในการใช้ชุดการสอน ประเภทนี้มักจะบรรจุไว้ในกล่อง ที่มีขนาดพอเหมาะสมกับจำนวนสื่อการสอน อย่างไรก็ตามหากเป็นวัสดุที่มีขนาดเล็กหรือใหญ่เกินไป หรือราคาแพงไป แตกหักหรือเสียง่ายและเป็นสิ่งมีชีวิตจะไม่ได้ไว้ในชุดการสอน แต่จะกำหนดไว้ในส่วนที่เกี่ยวกับสิ่งที่ครุต้องเตรียมล่วงหน้าก่อนทำการสอน กำหนดไว้ในคู่มือครุ วัสดุเหล่านี้นิยมจัดไว้ในห้องปฏิบัติการ เช่น ห้องปฏิบัติการวิทยาศาสตร์ หรือในห้องวิชาการ เช่น ห้องสังคมศึกษา เป็นต้น

ชุดการสอนประกอบการบรรยาย ประกอบด้วย (วานา, 2525: 138)

ก) คู่มือครุ ประกอบด้วย จุดมุ่งหมายของหลักสูตร วัตถุประสงค์เชิงพุทธิกรรม รายละเอียด ของเนื้อหาวิชา ขั้นดำเนินกิจกรรมหรือวิธีการสอน รายการบอชnid และคำแนะนำการใช้สื่อการเรียนการสอนตามลำดับ

ข) สื่อการเรียนการสอน (Instructional media) ใช้ประกอบการสอนเพื่อบรรลุ จุดมุ่งหมาย มีหลายชนิดซึ่งแต่ละชนิดจะส่งเสริมการเรียนการสอนให้ได้ผล สื่อการเรียนการสอน จะได้รับการเลือกสรรอย่างเหมาะสมสมกับกิจกรรมการเรียนการสอน

ค) แบบฝึกหัด (Exercise) เป็นแบบฝึกหัดตามที่มอบหมายไว้ในบัตรกิจกรรม อาจแยกเป็นชุด ๆ หรือรวมกันเป็นเล่มก็ได้

ง) แบบทดสอบก่อนเรียนและหลังเรียน

2.6.2.2 ชุดการสอนสำหรับกิจกรรมกลุ่ม ชุดการสอนแบบนี้มุ่งหมายให้นักเรียนได้ ประกอบกิจกรรมร่วมกัน เช่น ในห้องเรียนกิจกรรมที่อยู่ในรูปของศูนย์การเรียน (Learning center) นักเรียนจะเรียนจากการประกอบกิจกรรมการเรียนร่วมกันตามสื่อและหัวข้อที่กำหนดไว้ ชุดการสอนนี้ประกอบด้วย ชุดย่อยที่มีจำนวนเท่ากับจำนวนศูนย์กิจกรรมนั้น ๆ บทบาทของครุนั้นจะเป็นเพียงผู้จัดเตรียมประสบการณ์ ผู้ประสานงาน และผู้ตอบคำถาม เมื่อจบการเรียนแต่ละศูนย์แล้ว นักเรียนอาจจะสนใจในการเรียนเสริมจากศูนย์สำรองที่เตรียมไว้ เพื่อไม่เป็นการเสียเวลาที่ต้องรอ อยู่เมื่อกลุ่มนี้ยังเรียนไม่เสร็จในแต่ละศูนย์ (รุ่งทิวา, 2527: 88) ชุดการสอนที่นำมาใช้สำหรับ กิจกรรมกลุ่มนี้จะใช้ร่วมกับการสอนแบบศูนย์การเรียน โดยมีส่วนประกอบที่สำคัญ คือ

ก) คู่มือครู เป็นสิ่งช่วยการสอนแบบศูนย์การเรียนดำเนินไปอย่างมีประสิทธิภาพในคู่มือครูจะมีคำชี้แจงสำหรับครู สิ่งที่ครูต้องเตรียมบทบาทของนักเรียน การจัดชั้นเรียนพร้อมแผนผัง แผนการสอน เนื้อหาสาระประจำศูนย์กิจกรรมต่าง ๆ แบบทดสอบก่อนการเรียน และหลังการเรียน

ข) สื่อสำหรับศูนย์กิจกรรมจะมีบัตรคำสั่ง บัตรกิจกรรม บัตรเนื้อหาบัตรคำตามหรือบัตรนำเสนอภาระ และบัตรเคลีย รวมทั้งสื่อการเรียนอื่น ๆ เช่นรูปภาพ แบบเรียนจำนวนบัตรต่าง ๆ หรือสื่อการเรียนอาจมีเท่ากับจำนวนนักเรียนในกลุ่มหรืออาจใช้ร่วมกันได้ไม่จำเป็นต้องครบถ้วน

ก) แบบฝึกหัด แบบฝึกหัดตามที่นักเรียนให้ไว้ในบัตรกิจกรรม อาจแยกเป็นชุด ๆ หรือรวมเป็นเล่มก็ได้

2.6.2.3 ชุดการสอนแบบรายบุคคล เป็นชุดการสอนที่จัดระบบขั้นตอนเพื่อให้ผู้เรียนใช้เรียนด้วยตนเองตามลำดับขั้นความสามารถของแต่ละบุคคล เมื่อศึกษาจนแล้วจะทำการทดสอบเพื่อประเมินผลความก้าวหน้า และศึกษาชุดอื่นต่อไปตามลำดับ เมื่อมีปัญหาผู้เรียนจะปรึกษากันได้ระหว่างผู้ช่วยแนะนำทางการเรียน (สมหญิง, 2532: 66)

2.6.2.4 ชุดการสอนทางไกล เป็นชุดการสอนที่ครูกับนักเรียนอยู่ต่างถิ่นต่างเวลา กันมุ่งสอนให้นักเรียนได้เรียนด้วยตนเองโดยไม่ต้องมาเข้าชั้นเรียนประกอบด้วยสื่อประเภทสิ่งพิมพ์ รายการวิทยุกระจายเสียง โทรทัศน์ ภาพยนตร์และการสอนเสริมตามศูนย์บริการการศึกษา เช่น ชุดการสอนทางไกลของมหาวิทยาลัยสุโขทัยธรรมาธิราช เป็นต้น (ชัยยงค์และคณะ, 2540: 118)

2.6.3 องค์ประกอบของชุดการสอน

ชุดการสอน ถือเป็นเครื่องมือที่สามารถพัฒนาการสอนของครูให้มีประสิทธิภาพดีขึ้น ชุดการสอนที่ดีต้องมีองค์ประกอบที่แตกต่างกันไป ถ้าหากองค์ประกอบใดองค์ประกอบหนึ่ง อาจจะมีผลต่อการพัฒนาการเรียนการสอน

ชัยยงค์ (2526: 120) ได้กล่าวไว้ว่า องค์ประกอบของชุดการสอนประกอบด้วย สื่อประสมในรูปแบบของวัสดุ อุปกรณ์และวิธีการตั้งแต่สองวิธีขึ้นไป บูรณาการ โดยใช้วิธีการจัดระบบ เพื่อใช้ชุดการสอนแต่ละชุด ให้มีประสิทธิภาพและมีความสมบูรณ์เบ็ดเสร็จในตัวเอง ซึ่งจำแนกส่วนประกอบของชุดการสอนได้ 4 ส่วน คือ

2.6.3.1 คู่มือ สำหรับครูผู้ใช้สอน หรือผู้เรียนที่ต้องเรียนจากชุดการสอน

2.6.3.2 คำสั่ง หรือการมอบงานเพื่อกำหนดแนวทางให้กับผู้เรียน

2.6.3.3 เนื้อหาสาระและสื่อ โดยจัดให้อยู่ในรูปของสื่อการสอนประสมและกิจกรรม การเรียนการสอนแบบกลุ่มและแบบบุคคลตามวัตถุประสงค์เชิงพุทธิกรรมที่ได้กำหนดไว้ใน แผนการสอน

2.6.3.4 การประเมินผล เป็นการประเมินผลของกระบวนการ ได้แก่ แบบฝึกหัด รายงานการค้นคว้า และผลของการเรียนรู้ในรูปของแบบทดสอบต่างๆ

2.6.4 ขั้นตอนการสร้างชุดการสอน

ชุดการสอนจะมีประสิทธิภาพ มีประโยชน์ต่อการเรียนการสอน ต้องผ่านขั้นตอน การสร้าง อย่างดี สามารถพัฒนาระบบการเรียนการสอนโดยเปิดโอกาสให้นักเรียนได้ศึกษาความรู้ได้ด้วย ตนเอง ดังนี้ในการสร้างชุดการสอน จึงมีขั้นตอนของการสร้างชุดการสอนไว้ดังนี้ (บุญเกื้อ, 2545: 97-99)

2.6.4.1 กำหนดหมวดหมู่เนื้อหา และประสบการณ์อาจกำหนดเป็นหมวดวิชาหรือ บูรณาการเป็นสาขาวิชาการตามความเหมาะสม

2.6.4.2 กำหนดหน่วยการสอน แบ่งเนื้อหาวิชาออกเป็นหน่วยการสอน โดยประมาณ เนื้อหาวิชาที่ผู้สอนสามารถถ่ายทอดความรู้แก่ผู้เรียนได้ในหนึ่งสัปดาห์ หรือ หนึ่งครึ่ง

2.6.4.3 กำหนดหัวเรื่อง ผู้สอนจะต้องถามตนเองว่าในการสอนแต่ละหน่วยควรให้ ประสบการณ์อะไรกับผู้เรียนบ้าง จากนั้นจึงทำการกำหนดหัวเรื่องออกแบบเป็นหน่วยการสอนย่อย

2.6.4.4 กำหนดความคิดรวบยอดและหลักการ จะต้องสอดคล้องกับหน่วยและหัวเรื่อง โดยสรุปรวมแนวความคิด สาระ และหลักเกณฑ์ที่สำคัญไว้ เพื่อเป็นแนวทางในการจัดเนื้อหาที่ สอนให้สอดคล้องกัน

2.6.4.5 กำหนดวัตถุประสงค์ให้สอดคล้องกับหัวเรื่อง โดยกำหนดเป็นวัตถุประสงค์ ทั่วไปก่อนแล้วจึงเขียนเป็นวัตถุประสงค์เชิงพุทธิกรรม ที่ต้องมีเงื่อนไขและเกณฑ์ของพุทธิกรรมไว้

2.6.4.6 กำหนดกิจกรรมการเรียน ให้สอดคล้องกับวัตถุประสงค์เชิงพุทธิกรรม ซึ่ง สามารถใช้เป็นแนวทางในการเลือกและผลิตสื่อการสอน กิจกรรมการเรียน หมายถึง กิจกรรมทุก อย่างที่ผู้เรียนปฏิบัติ เช่น การอ่านบัตรคำสั่ง ตอบคำถาม เขียนภาพ ทำการทดลอง ฯลฯ

2.6.4.7 กำหนดแบบประเมินผล ต้องประเมินผลให้ตรงกับวัตถุประสงค์เชิงพฤติกรรม โดยใช้การสอบแบบอิงเกณฑ์ เพื่อให้ผู้สอนทราบว่าหลังผ่านกิจกรรมมาเรียนรู้อย่างแล้วผู้เรียนได้เปลี่ยนพฤติกรรมการเรียนรู้ตามวัตถุประสงค์ที่ตั้งไว้หรือไม่

2.6.4.8 เลือกและผลิตสื่อการสอน วัสดุอุปกรณ์ และวิธีการที่ผู้สอนใช้ ถือเป็นสื่อการสอนทั้งสิ้น เมื่อผลิตสื่อการสอนของแต่ละหัวเรื่องแล้ว ก็จัดสื่อการสอนเหล่านั้นให้เป็นหมวดหมู่ ในกล่องที่เตรียมไว้ ก่อนนำไปทดลองหาประสิทธิภาพ

2.6.4.9 หาประสิทธิภาพของชุดการสอน เพื่อเป็นหลักประกันว่าชุดการสอนที่สร้างขึ้นมา มีประสิทธิภาพในการสอน ผู้สร้างต้องกำหนดเกณฑ์ขั้นล่างหน้า โดยคำนึงถึงหลักการที่ว่า การเรียนรู้เป็นกระบวนการเพื่อช่วยให้การเปลี่ยนพฤติกรรมของผู้เรียนบรรลุผล ตามที่กำหนดไว้ ในวัตถุประสงค์การสอน

2.6.4.10 การใช้ชุดการสอน เมื่อได้ชุดการสอนที่ได้ปรับปรุงและมีประสิทธิภาพตามเกณฑ์ที่ตั้งไว้แล้ว สามารถนำไปใช้สอนผู้เรียน ได้ตามประเภทของชุดการสอนและระดับการศึกษา โดยกำหนดขั้นตอนการใช้ได้ดังนี้

- ก) ให้ผู้เรียนทำแบบทดสอบก่อนการเรียน เพื่อพิจารณาพื้นความรู้เดิม
- ข) ขั้นเข้าสู่บทเรียน
- ค) ขั้นประกอบกิจกรรมการเรียน (ขั้นสอน) ผู้สอนบรรยายหรือแบ่งกลุ่ม

ประกอบกิจกรรมการเรียน

- ง) ขั้นสรุปผลการสอน เพื่อสรุปความคิดรวบยอดและหลักการสำคัญที่ได้สอนมาทั้งหมด
- จ) ทำแบบทดสอบหลังการเรียน เพื่อคูฟฤติกรรมการเรียนรู้ที่เปลี่ยนไป

2.6.5 ประโยชน์ของชุดการสอน

ชุดการสอนมีประโยชน์ต่อการเรียนการสอนอยู่หลายประการ ซึ่งนักการศึกษาได้กล่าวถึง ประโยชน์ของชุดการสอนไว้ดังนี้

2.6.5.1 ชุดการสอนช่วยลดภาระของครุผู้สอน เมื่อมีชุดการสอนสำเร็จอยู่แล้วผู้สอนจะดำเนินการสอนตามคำแนะนำที่กำหนดไว้ให้ ผู้สอนไม่ต้องเสียเวลาในการทำสื่อการสอนใหม่ทำ

ให้ผู้สอนมีเวลาเตรียมการสอน การทดลองและศึกษาค้นคว้าเพิ่มเติมในเนื้อหาวิชาตามชุดการสอน ทำให้ผู้สอนมีประสบการณ์กว้างขึ้น ซึ่งมีผลให้ประสิทธิภาพการสอนของครูเพิ่มขึ้น

2.6.5.2 ทำให้ผู้เรียนได้รับความรู้ในแนวเดียวกัน ผู้สอนแต่ละคนย่อมมีความรู้และความสามารถในการถ่ายทอดความรู้แตกต่างกันในเรื่องเดียวกัน ผู้เรียนอาจจะได้รับความรู้และได้รับรายละเอียดต่าง ๆ ไม่เท่ากัน ชุดการสอนมีจุดมุ่งหมายชัดเจนที่เป็นพฤติกรรมมีข้อแนะนำ ให้กิจกรรมการใช้สื่อและข้อสอบประเมินพฤติกรรม ไว้อย่างพร้อมมุล

2.6.5.3 ชุดการสอนช่วยให้เกิดประสิทธิภาพอย่างเชื่อถือได้ เพราะชุดการสอนผลิตขึ้น ด้วยวิธีการเข้าสู่ระบบ (System approach) โดยกลุ่มผู้เชี่ยวชาญหลายด้าน เช่น ผู้เชี่ยวชาญวิชาเฉพาะ นั้น ๆ นักเทคโนโลยีการศึกษา นักจิตวิทยา ผู้เชี่ยวชาญการวัดผล ผู้สอน ผู้เรียน ผู้ปักครอง ร่วมกัน ผลิตชุดการสอน โดยมีการทดลองใช้และปรับปรุงจนกระทั่งแน่ใจว่า ได้ผลดีหลายครั้ง ในสถานการณ์ที่กำหนดไว้ จึงจะนำออกมาใช้ทั่ว ๆ ไป เพื่อให้แน่ใจว่า ผู้สอนได้ใช้ชุดการสอนอย่างมี ประสิทธิภาพ (ลัดดา, 2523: 31)

2.6.5.4 ช่วยให้ผู้สอนถ่ายทอดเนื้อหา และประสบการณ์ที่ слับซับซ้อน โดยมีลักษณะ เป็นนามธรรมสูง เช่น การทำงานของเครื่องกล อวัยวะในร่างกายหรือการเจริญเติบโตของสัตว์ชั้น ตា ฯ ลฯ ลักษณะเช่นนี้ผู้สอนจะไม่สามารถถ่ายทอดด้วยการบรรยายได้ดี (ชัยยงค์, 2526: 121)

2.6.5.5 ช่วยครูไม่ต้องเสียเวลาในการคิดค้นมาก นอกจากนั้นยังเป็นวิธีการอบรมครู ประจำการเรื่องการดำเนินการสอนอีกประการหนึ่ง

2.6.5.6 ทำให้ครูมีเวลาเพียงพอในการที่เตรียมการสอน ค้นคว้าเพิ่มเติมให้เป็นไปตามที่ ชุดการสอนระบุไว้ เพื่อประสิทธิภาพของการเรียนการสอน รวมทั้งมีเวลาในการตรวจแบบฝึกหัด หรือแบบทดสอบ แทนที่จะทุ่มเวลาในการทำสื่อการเรียนการสอน โดยเฉพาะครูไม่มีความสามารถ ในด้านนี้จะเป็นปัญหามากในที่สุด จะไม่ยอมใช้สื่อการเรียนการสอน หรือสื่อการสอนอาจจะ ออกมายังรูปที่ไม่น่าดูนัก

2.6.6 เกณฑ์ในการหาประสิทธิภาพชุดการสอน

การกำหนดเกณฑ์ประสิทธิภาพของชุดการสอนนิยมตั้งไว้ที่ 90/90 โดยที่

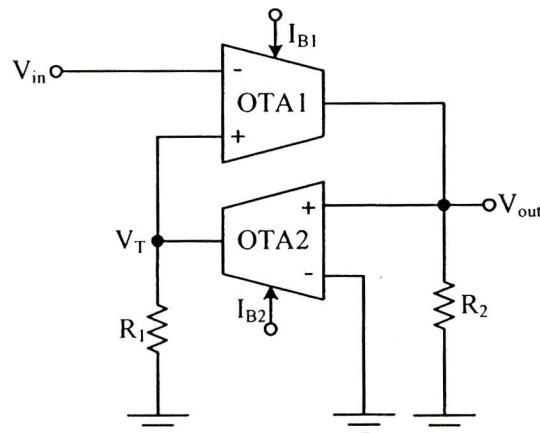
90 ตัวแรก คือคะแนนเฉลี่ยคิดเป็นร้อยละของกลุ่มในการทำแบบฝึกหัดในบทเรียน

90 ตัวหลัง คือคะแนนเฉลี่ยคิดเป็นร้อยละของกลุ่มในการทำแบบทดสอบหลังบทเรียน

ถ้าปรากฏว่าคะแนนเฉลี่ยคิดเป็นร้อยละของกู้มในการทำแบบฝึกหัดและการทำแบบทดสอบ หลังเรียนได้ไม่ต่ำกว่า 90 ทั้งคู่ ก็ถือว่า ชุดการสอนที่พัฒนาขึ้นมีประสิทธิภาพอยู่ในขั้นใช้ได้ อย่างไรก็ตามชุดการสอนบางวิชาที่มีเนื้อหาหาก ๆ อาจจะมีประสิทธิภาพได้ต่ำกว่าเกณฑ์ 90/90 แต่ไม่ควรต่ำกว่า 80/80 จึงจะถือว่าพอใช้ได้ (ธีรชัย, 2532: 4)

2.7 ผลงานการวิจัยที่เกี่ยวข้อง

หลังจากได้มีการกล่าวถึงทฤษฎีพื้นฐานเบื้องต้นอย่างละเอียดไปแล้ว ในส่วนนี้จะกล่าวถึงงานวิจัยที่เกี่ยวข้องกับวงจรชนิตต์ทริกเกอร์ วงจรกำเนิดสัญญาณสี่เหลี่ยม วงจรกำเนิดสัญญาณสามเหลี่ยม วงจรกำเนิดสัญญาณดูแลดความกว้างพัลส์ และวงจรโนโนสเตเบิลแมตติไวนบารเตอร์ ที่ได้มีผู้นำเสนอมาพอสังเขปดังนี้



ภาพที่ 2-18 วงจรชนิตต์ทริกเกอร์ที่ใช้ OTA

2.7.1 วงจรชนิตต์ทริกเกอร์ที่ใช้ OTA

ภาพที่ 2-18 แสดงโครงสร้างวงจรชนิตต์ทริกเกอร์ใหม่ดังนี้ที่ใช้วงจรขยายความนำถ่ายโอน (OTA) (Kim et. al., 1997) ซึ่งประกอบด้วย OTA และตัวต้านทานอย่างละเอียดสองตัว โดย I_{B1} และ I_{B2} เป็นกระแสใบแอสของ OTA ตัวที่ 1 และ 2 ตามลำดับ

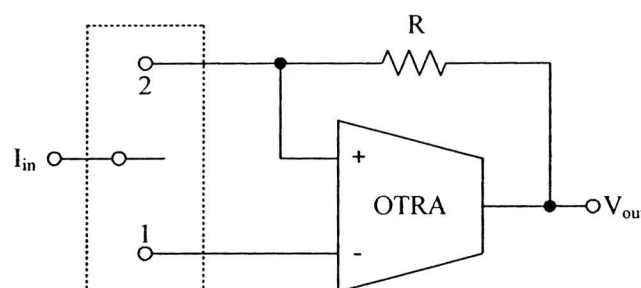
เมื่อพิจารณาจากภาพที่ 2-18 โดยอาศัยหลักการทำงานในสภาวะอิ่มตัวของ OTA จะได้ขนาดของแรงดันเอาต์พุต V_{out} แรงดันขีดเริ่มค้านสูง V_{TH} และแรงดันขีดเริ่มค้านต่ำ V_{TL} ดังนี้

$$V_{out} = \begin{cases} I_{B1}R_2 & \text{if } V_m < V_T \\ -I_{B1}R_2 & \text{if } V_m > V_T \end{cases} \quad (2-55)$$

และ

$$V_{TH} = I_{B2}R_1, V_{TL} = -I_{B2}R_1 \quad (2-56)$$

จากสมการที่ (2-55) และ (2-56) จะเห็นได้ว่า จุดเด่นของวงจรนี้คือ สามารถควบคุมขนาดสัญญาณเอาต์พุต แรงดันขีดเริ่มค้านสูงและต่ำ ได้จากการกระแสไบแอดส์ I_{B1} และ I_{B2} ตามลำดับ อีกทั้ง V_{out} , V_{TH} และ V_{TL} ในทางอุดมคติเป็นอิสระจากอุณหภูมิ เนื่องจากทั้งสามค่านี้ไม่มี影响ของค่าสักค่ายความร้อนมาเกี่ยวข้อง อย่างไรก็ตามวงจรชนิดต์ทริกเกอร์แบบนี้ ยังมีข้อด้อยในเรื่องที่ยังมีโครงสร้างที่ใช้อุปกรณ์พาสซีฟและแอคทีฟจำนวนมาก ทำให้มีอ่อนไหวไปพัฒนาเป็นวงจรรวมจะส่งผลให้ขนาดของชิปมีขนาดใหญ่ และเนื่องจากใช้ช่วงการทำงานในสภาวะอิ่มตัวของ OTA ที่มีโครงสร้างเป็นไบโพล่าทرانซิสเตอร์ ดังนั้นจำเป็นต้องมีอินพุตที่มากกว่า $2V_T$ หรือประมาณ 52mV ส่งผลให้วงจรนี้ไม่สามารถทำงานได้ เมื่อรับสัญญาณอินพุตขนาดต่ำกว่า 52mV และมีการทำงานอยู่ในโหมดแรงดัน



ภาพที่ 2-19 วงจรชนิดต์ทริกเกอร์ที่ใช้ OTRA

2.7.2 วงจรชัมมิตต์ทริกเกอร์ที่ใช้ OTRA

โครงสร้างของวงจรชัมมิตต์ทริกเกอร์ที่ใช้ OTRA (Operational transresistance amplifier) ได้แสดงไว้ในภาพที่ 2-19 (Lo et. al., 2010) ซึ่งวงจนี้ประกอบด้วย OTRA และแหล่งจ่ายไฟฟ้า 2 ตัว ต้านทานแบบลอดอย่างละหนึ่งตัว

เมื่อพิจารณาจากภาพที่ 2-19 จะเห็นได้ว่า วงจนี้สามารถทำงานเป็นวงจรชัมมิตต์ทริกเกอร์ได้ทั้งแบบทวนเข็มและตามเข็มนาฬิกา โดยวงจรจะทำงานเป็นวงจรชัมมิตต์ทริกเกอร์แบบทวนเข็มนาฬิกาเมื่อตำแหน่งของแอนะลอกสวิตช์อยู่ที่ “1” และถ้าตำแหน่งของแอนะลอกสวิตช์อยู่ที่ “2” วงจรจะทำงานที่เป็นวงจรชัมมิตต์ทริกเกอร์แบบทวนเข็มนาฬิกา ซึ่งขนาดของสัญญาณเอาต์พุตและกระแสขีดเริ่ม (Threshold currents) ด้านสูง (I_{TH}) และ (I_{TL}) ของวงจรชัมมิตต์ทริกเกอร์แบบทวนเข็มน้ำพิกา หาค่าได้จาก

$$V_{out} = \begin{cases} V_{SAT+} & \text{if } I_{in} < I_{TH} \\ V_{SAT-} & \text{if } I_{in} > I_{TL} \end{cases} \quad (2-57)$$

และ

$$I_{TH} = \frac{V_{SAT+}}{R}, I_{TL} = \frac{V_{SAT-}}{R} \quad (2-58)$$

เมื่อวงจรทำงานที่เป็นแบบทวนเข็ม ขนาดของสัญญาณเอาต์พุตและกระแสขีดเริ่มหาค่าได้ดังนี้

$$V_{out} = \begin{cases} V_{SAT+} & \text{if } I_{in} > I_{TH} \\ V_{SAT-} & \text{if } I_{in} < I_{TL} \end{cases} \quad (2-59)$$

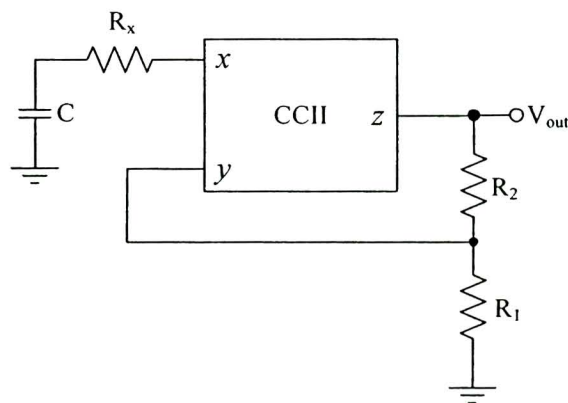
และ

$$I_{TH} = \frac{V_{SAT+}}{R}, I_{TL} = \frac{V_{SAT-}}{R} \quad (2-60)$$

เมื่อ V_{SAT+} และ V_{SAT-} คือแรงดันสกawaะอิ่มตัว OTRA ด้านบวกและลบตามลำดับ โดยทั่วไปมีค่าประมาณ 90% ของแหล่งจ่ายไฟเลี้ยงด้านบวกและลบ

จากภาพที่ 2-19 และสมการที่ (2-57) ถึง (2-60) สามารถสรุปถักย่อนะเด่นของวงจรได้คือ มีโครงสร้างที่ไม่ซับซ้อน ใช้อุปกรณ์แคคทิฟ พาสซีฟ และแอนะลอกสวิตช์อย่างละเอห์นี่งตัว ยิ่งไปกว่านั้นยังสามารถเลือกการทำงานได้ทั้งแบบตามเงื่อนไขและทวนเข็มนาฬิกาโดยแอนะลอกสวิตช์ดังที่กล่าวมาข้างต้น แต่อย่างไรก็ตาม วงจนี้ขาดของสัญญาณเอาต์พุต ไม่เป็นอิสระจากแหล่งจ่ายไฟ อีกทั้งการเปลี่ยนแปลงของขนาดสัญญาณเอาต์พุตส่งผลกระทบต่อกระแสขึ้นเริ่ม และจากโครงสร้างของวงจรใช้อุปกรณ์พาสซีฟแบบลอยในการออกแบบ จึงไม่เหมาะสมในการพัฒนาเป็นวงจรรวม

2.7.3 วงจรกำเนิดสัญญาณสี่เหลี่ยมที่ใช้ CCII



ภาพที่ 2-20 วงจรกำเนิดสัญญาณสี่เหลี่ยมที่ใช้ CCII

วงรที่แสดงในภาพที่ 2-20 คือวงจรกำเนิดสัญญาณสี่เหลี่ยมที่ใช้ CCII (Del R. S. et. al. 2007) โดยโครงสร้างของวงจรประกอบด้วย CCII ตัวเก็บประจุต่อลกราวน์ค์ ตัวด้านทานแบบลอย และตัวด้านทานแบบลงกราวน์ค์อย่างละเอห์นี่งตัว ส่วน R_x คือความต้านทานแฟรงก์ภายในตัว CCII เมื่อพิจารณาขนาดแรงดันเอาต์พุตและความถี่สามารถหาค่าได้จาก

$$V_{out(p-p)} = 2V_{SAT} \quad (2-61)$$

และ

$$f = \frac{1}{R_x C \ln \left(\frac{V_{x+} - V_{TL}}{V_{TH} - V_{x+}} \times \frac{V_{x-} - V_{TH}}{V_{TL} - V_{x-}} \right)} \quad (2-61)$$

เมื่อ V_{SAT} คือขนาดแรงดันสกาวะอิมตัว CCII ซึ่งมีค่าประมาณ 90% ของแหล่งจ่ายไฟ ส่วน V_{x+}

และ V_{x-} คือขนาดแรงดันที่ขั้ว x ด้านบวกและลบตามลำดับ ซึ่ง $V_{TH} = \frac{R_1 - R_x}{R_1 + R_2} V_{SAT+}$

$$\text{และ } V_{TL} = \frac{R_1 - R_x}{R_1 + R_2} V_{SAT-}$$

จุดเด่นของวงจรนี้คือ ขนาดของแรงดันเอาต์พุตในทางอุตสาหกรรมไม่ขึ้นกับอุณหภูมิ อย่างไรก็ตาม วงจนรนีมีข้อด้อยในเรื่องขนาดของสัญญาณเอาต์พุตที่ขึ้นอยู่กับขนาดของแรงดันไฟเลี้ยง อีกทั้ง การเปลี่ยนแปลงของขนาดแรงดันไฟเลี้ยงส่งผลต่อความถี่ของวงจรมากไปกว่านั้น ความถี่ยังไวต่อการเปลี่ยนแปลงของอุณหภูมิ และวงจนรนีใช้อุปกรณ์พาสซีฟแบบลอยในการออกแบบ จึงไม่เหมาะสมในการพัฒนาเป็นวงจรรวมเข่นกัน

2.7.4 วงจรกำเนิดสัญญาณสี่เหลี่ยมที่ใช้ OTRA

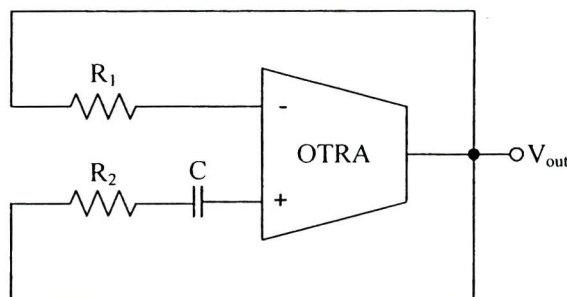
วงจรกำเนิดสัญญาณสี่เหลี่ยมที่ใช้ OTRA แสดงไว้ในภาพที่ 2-21 (Hou et. al., 2005) โครงสร้างของวงจนรนีประกอบด้วย OTRA ตัวเก็บประจุแบบลอยอย่างละเอียด แต่ตัวด้านท่านแบบลอยจำนวนสองตัว อาศัยหลักการทำงานของ OTRA ในสกาวะอิมตัวขนาดแรงดันเอาต์พุตและความถี่สามารถหาค่าได้ดังนี้

$$V_{out(p-p)} = 2V_{SAT} \quad (2-62)$$

และ

$$f = \frac{1}{2R_2 C \ln \left(\frac{2R_1}{R_2} - 1 \right)} \quad (2-63)$$

จุดเด่นของวงจรนี้คือ ขนาดของแรงดันเอต้าพุตไม่ไวต่อการเปลี่ยนแปลงอุณหภูมิ ทั้งนี้เนื่องจากไม่มีเทอมของศักย์ความร้อน (V_T) ยิ่งไปกว่านั้น ในทางอุดมคติการเปลี่ยนแปลงของขนาดสัญญาณเอต้าพุตไม่ส่งผลกระทบกับความถี่ อย่างไรก็ตามข้อด้อยหลายประการ ได้แก่ วงจรนี้ใช้ตัวต้านทานแบบลอยสองตัวและตัวเก็บประจุแบบลอยอีกหนึ่งในการออกแบบ จึงไม่เหมาะสมในการพัฒนาเป็นวงจรรวม และไม่สามารถควบคุมความถี่ของวงจร ได้ด้วยวิธีทางอิเล็กทรอนิกส์ ส่งผลให้ยากที่จะนำไปประยุกต์ใช้ในระบบอัตโนมัติ



ภาพที่ 2-21 วงจรกำเนิดสัญญาณสามเหลี่ยมที่ใช้ OTRA

2.7.5 วงจรกำเนิดสัญญาณสามเหลี่ยมและสี่เหลี่ยมที่ใช้ OTA

ภาพที่ 2-22 แสดงโครงสร้างกำเนิดสัญญาณสามเหลี่ยมและสี่เหลี่ยมที่ทำงานในโหมดแรงดันที่ใช้ OTA (Siripruchyanun and Wardkein, 2001) ซึ่งประกอบด้วย OTA จำนวนสามตัว ตัวต้านทานต่อลงกราวน์ดสองตัวและตัวเก็บประจุต่อลงกราวน์ดอีกหนึ่งตัว โดย I_{B1} , I_{B2} และ I_{B3} เป็นกระแสไบแอสของ OTA ตัวที่ 1 ตัวที่ 2 และ 3 ตามลำดับ ซึ่งขนาดแรงดันเอต้าพุตที่เป็นสัญญาณสามเหลี่ยม (V_{out1}) และสี่เหลี่ยม (V_{out2}) หากาได้จาก

$$V_{out1(p-p)} = 2I_{B2}R_2 \quad (2-64)$$

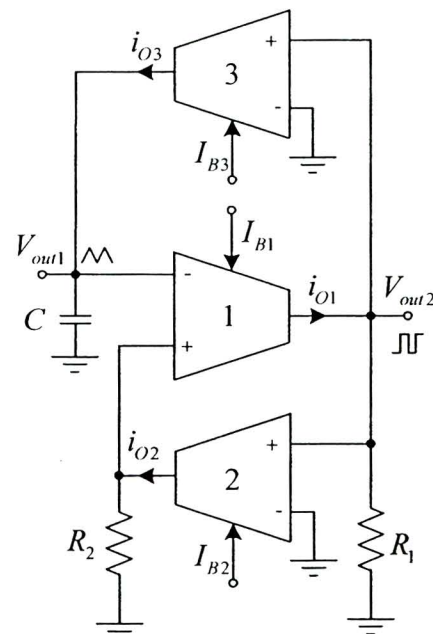
และ

$$V_{out2(p-p)} = 2I_{B1}R_1 \quad (2-65)$$

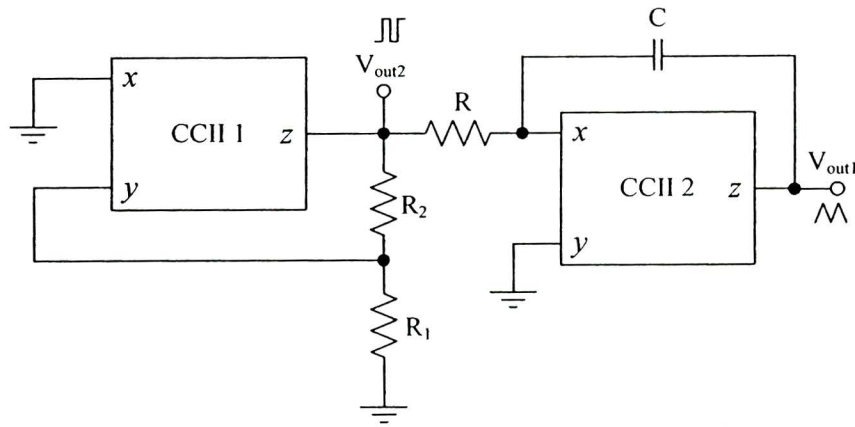
ส่วนความถี่ของวงจรหาค่าได้ดังนี้

$$f = \frac{I_{B3}}{4R_1CI_{B2}} \quad (2-66)$$

จากสมการที่ (2-64)-(2-66) สามารถสรุปชุดเด่นของวงจรได้ดังนี้ การควบคุมความถี่และขนาดของสัญญาณเอาต์พุตที่เป็นสัญญาณสี่เหลี่ยมและสามเหลี่ยมสามารถควบคุมได้ด้วยวิธีทางอิเล็กทรอนิกส์และเป็นอิสระจากกัน จึงสามารถนำໄไปประยุกต์ใช้งานในระบบอัตโนมัติได้ ยิ่งไปกว่านั้น ความถี่และขนาดสัญญาณเอาต์พุตไม่ໄວต่อการเปลี่ยนแปลงอุณหภูมิ ส่วนข้อด้อยของวงจรนี้คือ วงจรใช้อุปกรณ์แยกทีฟและพาลซีฟจำนวนมาก ทำให้มีองค์ประกอบพัฒนาเป็นวงจรรวมส่งผลให้ขนาดของชิปจะมีขนาดใหญ่



ภาพที่ 2-22 วงจรกำเนิดสัญญาณสามเหลี่ยมและสี่เหลี่ยมที่ใช้ OTA



ภาพที่ 2-23 วงจรกำเนิดสัญญาณสามเหลี่ยมและสี่เหลี่ยมที่ใช้ CCII

2.7.6 วงจรกำเนิดสัญญาณสามเหลี่ยมและสี่เหลี่ยมที่ใช้ CCII

จากการศึกษาวงจรกำเนิดสัญญาณสามเหลี่ยมและสี่เหลี่ยมที่ใช้ CCII ที่แสดงไว้ในภาพที่ 2-23 (Pal D. et. al., 2009) พบว่า โครงสร้างของวงจรประกอบด้วย CCII จำนวนสองตัว ตัวด้านบนแบบโดยจำนวนสองตัว ตัวเก็บประจุแบบโดยจำนวนหนึ่งตัว และตัวด้านบนแบบลงกราวน์คือกหนึ่งตัว ขนาดแรงดันเอาต์พุตที่เป็นสัญญาณสามเหลี่ยม (V_{out1}) และสี่เหลี่ยม (V_{out2}) หากค่าได้ดังนี้

$$V_{out1(p-p)} = \frac{2R_2}{R_1} V_{SAT} \quad (2-67)$$

และ

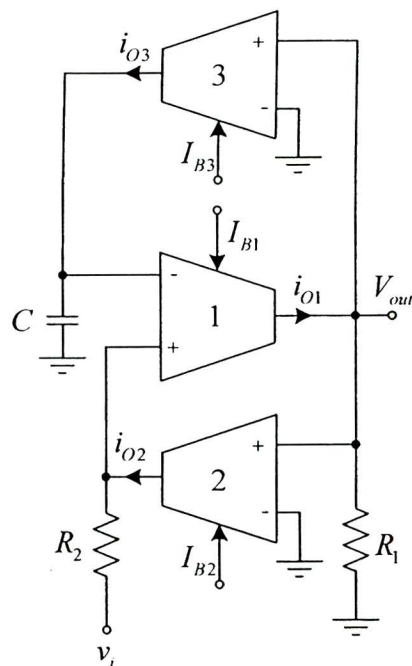
$$V_{out2(p-p)} = 2V_{SAT} \quad (2-68)$$

ส่วนความถี่ของวงจรหาค่าได้จาก

$$f = \frac{R_1}{4\pi R R_2 C} \quad (2-69)$$

เมื่อพิจารณาจากสมการที่ (2-67) ถึง (2-69) และภาพที่ 2-23 สามารถสรุปได้ว่าในวงจรนี้คือสามารถควบคุมขนาดของสัญญาณสามเหลี่ยมได้โดยไม่ส่งผลกระทบต่อนภาคของสัญญาณสี่เหลี่ยม และขนาดสัญญาณอาจพุ่งทั้งสองไม่ไวต่อการเปลี่ยนแปลงอุณหภูมิ ส่วนข้อด้อยของวงจนนี้คือ วงจรใช้อุปกรณ์แยกทีฟและพาสซีฟจำนวนมาก ทำให้มี成本สูงและเป็นวงจรรวมสั่งผลให้ขนาดของชีบีจีขนาดใหญ่ ยิ่งไปกว่านั้นขนาดของสัญญาณสามเหลี่ยมและสี่เหลี่ยมไม่เป็นอิสระจากการเปลี่ยนแปลงแรงดันแหล่งจ่าย และความถี่ของวงจรยังไม่สามารถปรับได้ด้วยวิธีทางอิเล็กทรอนิกส์ เมื่อนำไปประยุกต์ใช้ในระบบอัตโนมัติต้องมีการปรับเปลี่ยนหรือเพิ่มวงจรเพื่อให้สามารถใช้งานได้

2.7.7 วงจรกำเนิดสัญญาณมอคูลเดตความกว้างพัลส์ที่ใช้ OTA



ภาพที่ 2-24 วงจรกำเนิดสัญญาณมอคูลเดตความกว้างพัลส์ที่ใช้ OTA

โครงสร้างของวงจรที่แสดงในภาพที่ 2-24 เป็นวงจรกำเนิดสัญญาณมอคูลเดตความกว้างพัลส์ที่ใช้ OTA (Siripruchyanun and Wardkein, 2001) ซึ่งนำเสนอโดย Siripruchyanun M. และ Wardkein P. ในปี ค.ศ. 2001 จากภาพจะเห็นได้ว่า วงจนี้ประกอบด้วย OTA จำนวนสามตัว ตัวต้านทานต่อ

ลงกราวน์ค์หนึ่งตัว ตัวด้านท่านแบบโดยจำนวนหนึ่งและตัวเก็บประจุต่อลงกราวน์อิกหนึ่งตัว ส่วนขนาดของสัญญาณเอาต์พุตและความถี่สามารถหาค่าได้ดังนี้

$$V_{out(p-p)} = 2I_{B1}R_i \quad (2-70)$$

และ

$$f = \frac{I_{B3}}{4R_i C I_{B2}} \quad (2-71)$$

ค่าความถี่ไซเกล่มีค่าดังนี้

$$D = \frac{1}{2} \left[1 + \frac{C}{I_{B3}} \frac{d}{dt} v_i(t) \right] \times 100\% \quad (2-72)$$

จากสมการที่ (2-70)-(2-72) พบร้า วงจรนี้สามารถควบคุมขนาดของแรงดันเอาต์พุตและความถี่ได้ด้วยวิธีทางอิเล็กทรอนิกส์และเป็นอิสระจากกัน โดยขนาดของแรงดันเอาต์พุตสามารถควบคุมได้ด้วยกระแสไบแอดส์ I_{B1} ส่วนความถี่สามารถควบคุมได้ด้วยกระแสไบแอดส์ I_{B2} หรือ I_{B3} ถ้าจะนะเด่น อีกประการหนึ่งของวงจนนี้คือ ค่าความถี่ไซเกลจะเปลี่ยนแปลงไปตามความชันของสัญญาณข่าวสาร ส่งผลให้วงจรปราศจากเรื่อง ไขเรื่องความถี่ของสัญญาณมอคูล็อกที่ต้องสูงกว่าสัญญาณข่าวสาร มากๆ แต่อย่างไรก็ตามวงจนนี้ใช้อุปกรณ์พาสซีฟแบบโดย จึงทำให้ยากในการนำไปพัฒนาเป็น วงจรรวม ยิ่งไปกว่านั้น วงจนนี้ใช้อุปกรณ์แอคทีฟและพาสซีฟจำนวนมาก ทำให้มีอนาคตเป็น วงจรรวมส่งผลให้ขนาดของชิปจะมีขนาดใหญ่

2.7.8 วงจรโมโนโนสเตเบิลมัลติไวเบรเตอร์ที่ใช้ OTA

ในปี ค.ศ. 2002 Chung และคณะ ได้นำเสนอวงจรโมโนโนสเตเบิลมัลติไวเบรเตอร์โดยใช้ OTA จำนวนสามตัว ต่อร่วมกับตัวด้านท่านแบบลงกราวน์จำนวนสามตัว ตัวเก็บประจุแบบโดยและ แบบต่อลงกราวน์อีกอย่างละหนึ่งตัวดังแสดงในภาพที่ 2-25 (Chung et. al., 2002) เมื่อ OTA

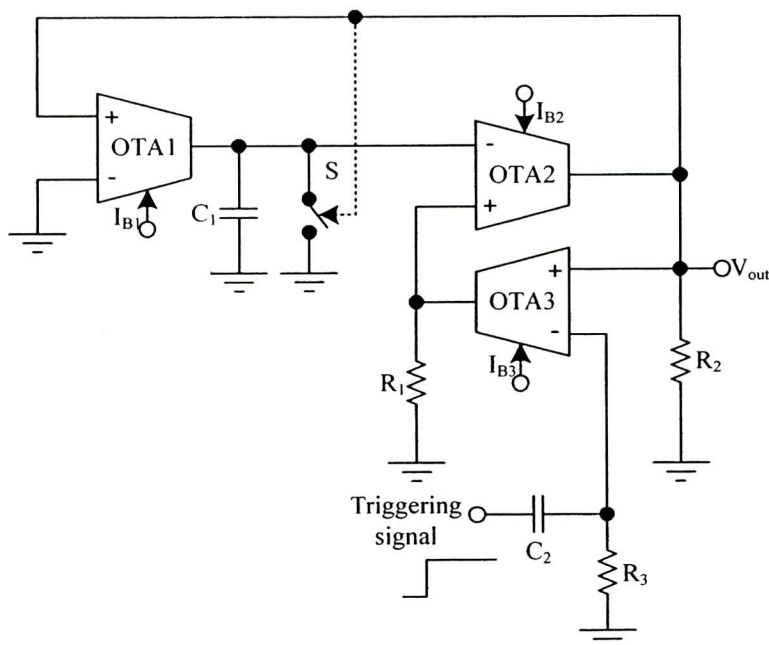
ทำงานในสภาวะอิมตัว ขนาดของสัญญาณเอาต์พุตและค่าความกว้างของสัญญาณพัลส์ (T) หาค่าได้ดังนี้

$$V_{out(p-p)} = 2I_{B2}R_2 \quad (2-73)$$

และ

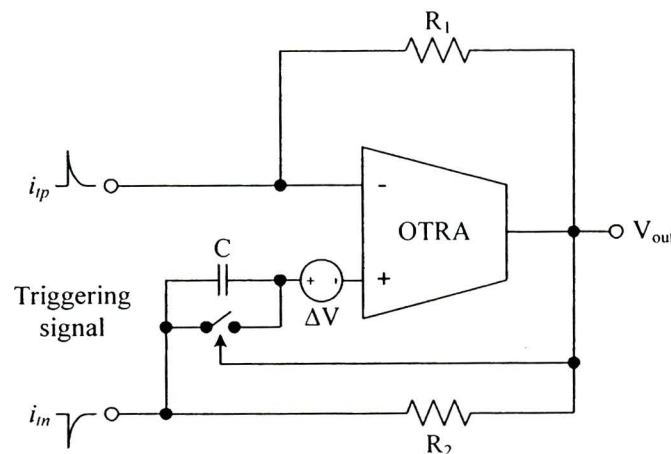
$$T = \frac{R_1 C_1 I_{B1}}{I_{B3}} \quad (2-74)$$

ขุดเด่นของวงจรนี้คือ ขนาดของสัญญาณเอาต์พุตและขนาดของสัญญาณพัลส์สามารถควบคุมได้ด้วยวิธีทางอิเล็กทรอนิกส์และเป็นอิสระจากกัน ยิ่งไปกว่านั้นยังเป็นอิสระจากอุณหภูมิ แต่เมื่อยังไงก็ตาม เมื่อนำวงจรนี้ไปพัฒนาเป็นวงจรรวมจะทำให้มีพื้นที่ซิปมีขนาดใหญ่ เนื่องจากวงจรนี้ใช้อุปกรณ์แอคทีฟและพาสซีฟจำนวนมาก



ภาพที่ 2-25 วงจรโนนสเตเบิลมัลติไวเบรเตอร์ที่ใช้ OTA

2.7.9 วงจร โนโนสเตเบิลมัลติไวนเบรเตอร์ที่ใช้ OTRA



ภาพที่ 2-26 วงจร โนโนสเตเบิลมัลติไวนเบรเตอร์ที่ใช้ OTRA

Lo Y.-K. และ Chien H.-C. ได้นำเสนอวงจร โนโนสเตเบิลมัลติไวนเบรเตอร์โดยใช้ OTRA จำนวนหนึ่งตัว ต่อร่วมด้วยตัวค้านทานแบบถอยจำนวนสองตัว ตัวเก็บประจุแบบถอยและแอนะลอกสวิตซ์อย่างละหนึ่งตัว ดังแสดงในภาพที่ 2-26 (Lo and Chien, 2006) อาศัยหลักการทำงานของ OTRA ในสภาวะอิ่มตัว ขนาดของสัญญาณเอาต์พุตและค่าความกว้างของสัญญาณพัลส์ (T) หาค่าได้จาก

$$V_{out(p-p)} = 2V_{SAT} \quad (2-75)$$

และ

$$T = R_2 C_2 \ln \left[\frac{R_1}{R_2} \left(1 - \frac{\Delta V}{V_{SAT-}} \right) \right] \quad (2-76)$$

เมื่อ ΔV คือ แรงดันอินพุตอฟเซ็ต (Input offset voltage)

จุดเด่นของวงจรนี้คือ ขนาดของสัญญาณเอาต์พุตและขนาดของสัญญาณพัลส์สามารถควบคุมได้ อย่างอิสระจากกัน ยิ่งไปกว่านั้นยังเป็นอิสระจากอุณหภูมิ แต่อย่างไรก็ตาม เมื่อนำงจรนี้ไปพัฒนา เป็นวงจรรวมจะทำให้มีพื้นที่ซึมเม็ดขนาดใหญ่ เนื่องจากวงจรนี้ใช้อุปกรณ์พาราเซฟเจานวนมาก อีกทั้ง อุปกรณ์พาราเซฟเป็นลักษณะแบบลอยจำานวนมากในการออกแบบ จึงทำให้ยากในการพัฒนาเป็น วงจรรวม

2.8 สรุป

ในบทนี้ได้กล่าวถึงทฤษฎีและงานวิจัยที่เกี่ยวข้องกับ CC-CDTA วงจรชนิดต์ทริกเกอร์ วงจร กำหนดสัญญาณสี่เหลี่ยม วงจรกำหนดสัญญาณมอคุเลตความกว้างพัลส์ วงจร โนโนสเตเบิลมัลติไวน์เตอร์ และชุดการสอน โดยสรุปได้ว่า วงจรที่ได้มีผู้วิจัยนำเสนอ โดยส่วนใหญ่แล้วมีข้อจำกัดดัง แสดงตารางที่ 2-1

ตารางที่ 2-1 ข้อจำกัดของวงจรชนิดต์ทริกเกอร์ วงจรกำหนดสัญญาณสี่เหลี่ยม วงจรกำหนดสัญญาณ มอคุเลตความกว้างพัลส์ และวงจร โนโนสเตเบิลมัลติไวน์เตอร์ที่ใช้ OTA CCII และ OTRA

ชื่อ	ใช้จำนวนอุปกรณ์ แอคทิฟหรือพาราเซฟ จำนวนมาก	ใช้อุปกรณ์พาราเซฟ ต่อแบบลอย	ไม่สามารถควบคุมด้วยวิธี ทางอิเล็กทรอนิกส์
วงจรชนิดต์ทริกเกอร์ที่ ใช้ OTA	ใช่	ไม่ใช่	ไม่ใช่
วงจรชนิดต์ทริกเกอร์ที่ ใช้ OTRA	ใช่	ใช่	ใช่
วงจรกำหนดสัญญาณ สี่เหลี่ยมที่ใช้ CCII	ใช่	ใช่	ใช่
วงจรกำหนดสัญญาณ สี่เหลี่ยมที่ใช้ OTRA	ใช่	ใช่	ใช่

ตารางที่ 2-1 (ต่อ)

ชื่อ	ใช้จำนวนอุปกรณ์ แอคทีฟหรือพาสซีฟ จำนวนมาก	ใช้อุปกรณ์พาสซีฟ ต่อแบบลอย	ไม่สามารถคุ้มครองได้ ทางอิเล็กทรอนิกส์
วงจรกำเนิดสัญญาณ สามเหลี่ยมและสี่เหลี่ยม ที่ใช้ OTA	ใช่	ไม่ใช่	ไม่ใช่
วงจรกำเนิดสัญญาณ สามเหลี่ยมและสี่เหลี่ยม ที่ใช้ CCII	ใช่	ใช่	ใช่
วงจรกำเนิดสัญญาณ มองคุณภาพความกว้างพัลส์ ที่ใช้ OTA	ใช่	ไม่ใช่	ไม่ใช่
วงจรโนนอินสเตเบิลมัตติ ไวเบรเตอร์ที่ใช้ OTA	ใช่	ไม่ใช่	ไม่ใช่
วงจรโนนอินสเตเบิลมัตติ ไวเบรเตอร์ที่ใช้ OTRA	ใช่	ใช่	ใช่